

Zakázka:

## VYPRACOVÁNÍ PROJEKTOVÉ DOKUMENTACE PRO ZAJIŠTĚNÍ OPRAV MOSTŮ A PROPUSTKŮ

TÚ 2411 Rohatec (mimo) – Sudoměřice nad Moravou (mimo)  
DÚ 04 SD FEROTECH, EUROPACK – Sudoměřice nad Moravou

Zodp. projektant zakázky:	Ing. Juraj Figuli	<i>Figuli</i>	Zhotovitel PD:
Zodp. projektant objektu:	Ing. Juraj Figuli		 <b>F-PROJEKT</b> DOPRAVNÍ STAVBY
Vypracoval:	Ing. Juraj Figuli		F-PROJEKT-DOPRAVNÍ STAVBY s.r.o. Janáčkova 4642/5d 79601 Prostějov
Kontroloval:	Ing. Martin Major	<i>Maj</i>	
Kraj: Jihomoravský	K.ú.: Sudoměřice		
Objednatel: Správa železnic, s. o., OŘ Brno, Kounicova 26, 611 43 Brno			
Stavba:	Oprava mostu v km 4,258 tratě Rohatec - Sudoměřice nad Moravou		
Objekt:	<b>SO 2411-19-15</b>		
Název přílohy:	<b>STATICKÝ VÝPOČET</b>		
	Datum:	červen 2020	
	Stupeň:	DSP	
	Číslo zakázky:	219009	
	Měřítka:	-	
	Část PD:	Číslo přílohy:	
	<b>D.2.1</b>	<b>11</b>	



# STATICKÝ VÝPOČET

**nosné konstrukce mostu v km 4,258 tratě Rohatec - Sudoměřice nad Moravou**

## TECHNICKÁ ZPRÁVA

**k výpočtu nosné konstrukce objektu  
SO 2411-19-15 Železniční most**

### Obsah

<b>1</b>	<b>Identifikační údaje mostu.....</b>	<b>2</b>
<b>2</b>	<b>Základní údaje o mostě podle ČSN 73 6200 a ČSN 73 6220 .....</b>	<b>2</b>
<b>3</b>	<b>Všeobecný popis.....</b>	<b>3</b>
3.1	Nosná konstrukce .....	3
3.2	Spodní stavba.....	3
<b>4</b>	<b>Podklady.....</b>	<b>3</b>
<b>5</b>	<b>Přesnost a metodika posouzení konstrukce .....</b>	<b>4</b>
<b>6</b>	<b>Základní geometrické a fyzikální parametry .....</b>	<b>4</b>
6.1	Geometrické parametry mostu.....	4
6.2	Fyzikálně-mechanické vlastnosti materiálů.....	4
6.3	Geometrické parametry kolejí.....	5
<b>7</b>	<b>Použitý software .....</b>	<b>5</b>

## 1 Identifikační údaje mostu

Název stavby:

**Oprava mostu v km 4,258 tratě Rohatec -  
Sudoměřice nad Moravou;**

Objekt:

**SO 2411-19-15 Železniční most;**

Stavebník:

Správa železnic, státní organizace,  
Dlážděná 1003/7, 110 00 Praha 1 – Nové Město

Korespondenční adresa:

Správa železnic, státní organizace,  
Oblastní ředitelství Brno  
Kounicova 26, 611 43 Brno;

Správce mostního objektu:

Správa železnic, státní organizace,  
Oblastní ředitelství Brno, Správa mostů a tunelů  
Kounicova 26, 611 43 Brno;

Zhotovitel projektu:

F-PROJEKT-DOPRAVNÍ STAVBY, s. r. o.  
Janáčkova 4642/5d, 796 01 Prostějov;

Katastrální území:

Sudoměřice;

Obec:

Sudoměřice;

Kraj:

Jihomoravský;

Traťový úsek:

TÚ 2411 Rohatec (mimo) – Sudoměřice nad  
Moravou (mimo);

Definiční úsek:

DÚ 04 SD FEROTECH, EUROPACAPITAL –  
Sudoměřice nad Moravou.

## 2 Základní údaje o mostě podle ČSN 73 6200 a ČSN 73 6220

Staničení:

evidenční km 4,258;

Situování mostního objektu v terénu:

stávající mostní objekt se nachází v extravilánu  
mimo zastavěné území obce Sudoměřice;

Účel objektu, překonávané překážky:

mostní objekt převádí jednokolejnou trať přes  
vodní tok.

### Charakteristika mostu (dle ČSN 73 6200 Mosty – Terminologie a třídění):

Podle druhu převáděné dopravy (komunikace)

drážní most (železniční most)

Podle překračované překážky

most přes vodní tok

Podle počtu mostních otvorů nebo polí

most o jednom otvoru

Podle počtu úrovní mostovek nad sebou

-

Podle výškové polohy mostovky

-

Podle přesypávky

most bez přesypávky

Podle měnitelnosti základní polohy

hlavní nosné konstrukce	nepohyblivý
Podle plánované doby trvání	most trvalý
Podle průběhu trasy na mostě	most ve výškovém oblouku;
Podle úhlu křížení	šikmý $52,7^\circ$ (šikmost levá);
Podle materiálu	betonový most (železobeton);
Podle ohybové tuhosti nosné konstrukce	most s ohybově tuhou nosnou konstrukcí;
Podle statické funkce hlavní NK	rámový most (polorám);
Podle volné výšky na mostě	s neomezenou volnou výškou;
Podle uspořádání příčného řezu	otevřeně uspořádaný.

### Nosná konstrukce

Podle základního tvaru a static. působení	rámová (polorám);
Podle materiálu	železobetonová.

## 3 Všeobecný popis

Opravovaný železniční most je trvalá betonová konstrukce o jednom otvoru převádějící jednokolejnou železniční trať přes Sudoměřický potok. Stará ocelová prvková konstrukce s kamennými masivními opěrami bude nahrazena novou železobetonovou polorámovou konstrukcí se zavěšenými křídly.

Do přepočtu je zahrnuta celá nosná konstrukce včetně křídel.

### 3.1 Nosná konstrukce

Novou nosnou konstrukci tvoří šikmý betonový polorám dl. 13,33 m s šírkou 5,600 m. Tloušťka desky je uprostřed 500 mm s podélným sklonem 1,0 % od středu ke koncům. Stěny jsou vysoké 2,65 m a tlusté 0,6 m.

### 3.2 Spodní stavba

Spodní stavbu tvoří dvě skupiny pilot Ø 750 mm (5 ks v řadě) založeny do hloubky 9,0 m pod základovou spáru. Na hlavách pilot je vybetonován základový pas tl. 0,6 m a š. 1,2 m.

## 4 Podklady

Podklady pro vypracování výpočtu včetně norem a směrnic

- **Inženýrsko-geologický průzkum**  
vrtané jádrové sondy u opěr;
- **Vlastní fotodokumentace objektu**  
11/2019;
- **Normy a směrnice**  
ČSN EN 1990 Zásady navrhování konstrukcí;  
ČSN EN 1991-1 Zatížení konstrukcí – Obecná zatížení;  
ČSN EN 1991-2 Zatížení konstrukcí – Zatížení mostů dopravou;  
ČSN EN 1991-2 ed.2 Zatížení konstrukcí – Zatížení mostů dopravou;

ČSN EN 1992-1-1 ed.2 Navrhování betonových konstrukcí - Obecná pravidla a pravidla pro pozemní stavby;  
ČSN EN 1992-2 Navrhování betonových konstrukcí – Betonové mosty;  
ČSN EN 1993-1-1 Navrhování ocelových konstrukcí - Obecná pravidla a pravidla pro pozemní stavby;  
ČSN EN 1994-1-1 ed.2 Navrhování spřažených ocelobetonových konstrukcí - Obecná pravidla a pravidla pro pozemní stavby;  
ČSN EN 1994-2 Navrhování spřažených ocelobetonových konstrukcí - Obecná pravidla a pravidla pro mosty;  
MVL 511 Nosné konstrukce železničních mostů se zabetonovanými ocelovými nosníky.

## 5 Přesnost a metodika posouzení konstrukce

Posouzení konstrukce je provedeno dle příslušných norem a směrnic na rozhodující mezní stavy únosnosti a použitelnosti vyvolané zadaným zatížením.

Zatížitelnost a přechodnost dané konstrukce je stanovena z rezervy únosnosti.

## 6 Základní geometrické a fyzikální parametry

### 6.1 Geometrické parametry mostu

Geometrické parametry mostu jsou převzaty z projektové dokumentace opravy mostu.

Rozpětí:	13,330 m
Šířka nosné konstrukce:	5,600 m
Délka nosné konstrukce:	14,085 m
Výška nosné konstrukce:	0,500 – 0,750 m
Světlost otvoru:	10,000 m

### 6.2 Fyzikálně-mechanické vlastnosti materiálů

#### Beton C40/50

pevnost	$f_{c,k} = 40,0 \text{ MPa}$
Modul pružnosti	$E_{cm} = 35,2 \text{ GPa}$
Poissonův součinitel	$\nu = 0,20$

#### Betonářská výztuž B500 B

mez kluzu	$f_{sy,k} = 500 \text{ MPa}$
Modul pružnosti	$E = 210,0 \text{ GPa}$
Poissonův součinitel	$\nu = 0,30$
mez pevnosti	$f_u = 490 \text{ MPa}$
Dílčí součinitele spolehlivosti	$\gamma_s = 1,15$

### **6.3 Geometrické parametry kolej**

Trať je na mostě vedena směrově v přímé. Niveleta stoupá ve sklonu 0,53 %.

Železniční svršek tvoří bezstyková kolej s kolejnicemi 49E1 upevněnými na betonové pražce SB8P. Na mostě je průběžné štěrkové lože.

### **7 Použitý software**

- a) SciaEngineer 2016.1
  - výpočtový program MKP
- b) Microsoft Office 2013



# VLASTNÍ PŘEPOČET

## nosné konstrukce mostního objektu SO 2411-19-15 Železniční most

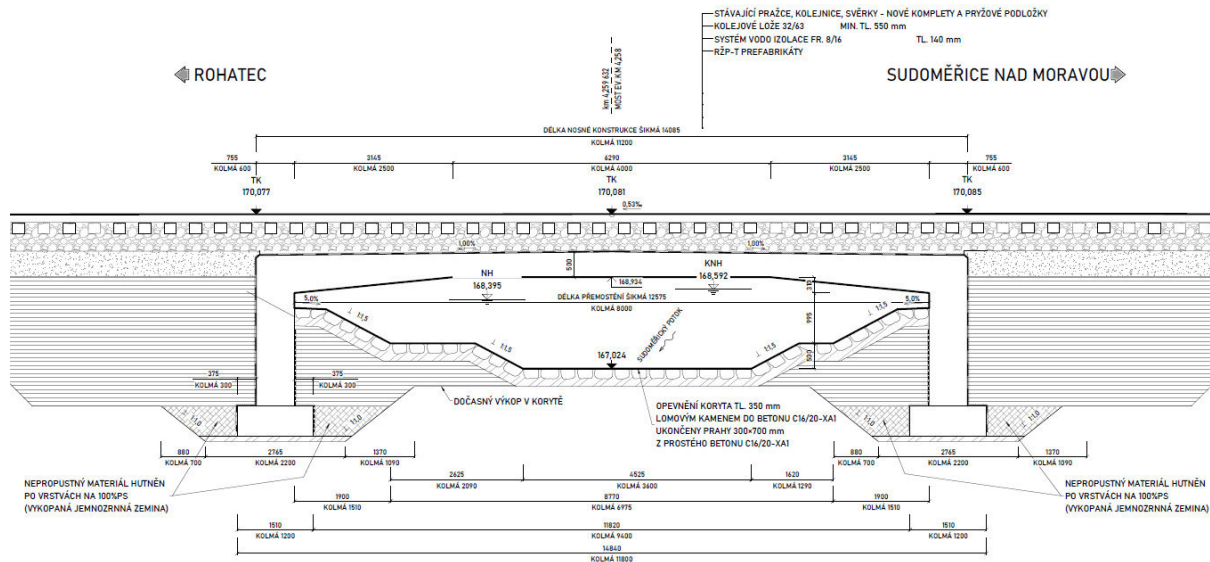
### Obsah

<b>1</b>	<b>Dispozice mostního objektu.....</b>	<b>8</b>
<b>2</b>	<b>Výpočtový model .....</b>	<b>8</b>
<b>3</b>	<b>Zatížení.....</b>	<b>9</b>
3.1	Stálá zatížení.....	9
3.2	Proměnná zatížení.....	11
3.2.1	Model LM71 .....	11
3.2.2	Vodorovné síly (k modelu LM71) .....	12
3.2.3	Model SW/2 .....	13
3.2.4	Vodorovné síly (k modelu SW/2) .....	14
3.2.5	Vítr .....	15
3.2.6	Teplota.....	16
<b>4</b>	<b>Kombinace zatížení .....</b>	<b>17</b>
4.1	MSÚ.....	17
4.2	MSP .....	17
<b>5</b>	<b>Skupiny výsledků.....</b>	<b>17</b>
<b>6</b>	<b>MSÚ .....</b>	<b>17</b>
6.1	Posouzení desky rámu .....	18
6.2	Posouzení krajních stěn desky .....	21
6.3	Posouzení stěn rámu .....	22
6.4	Posouzení křídel .....	23
<b>7</b>	<b>MSP .....</b>	<b>24</b>
7.1	Posouzení desky rámu .....	24
7.2	Posouzení krajních stěn desky .....	27
<b>8</b>	<b>Zobrazení výsledků pro MSÚ (RC1).....</b>	<b>28</b>
8.1	Deska rámu .....	28
8.2	Stěny rámu .....	31
8.3	Křídla .....	32
<b>9</b>	<b>Zobrazení výsledků pro MSP .....</b>	<b>33</b>

9.1	RC2 – charakteristická kombinace .....	33
9.2	RC3 – kvazistálá kombinace .....	36
<b>10</b>	<b>Výpočet pilot .....</b>	<b>39</b>
10.1	Vstupní data .....	39
10.2	Výpočet svislé únosnosti .....	45
10.3	Výpočet zatěžovací křivka.....	46
10.4	Výpočet vodorovné únosnosti .....	48
10.4.1	Úsek 0,0 – 1,5 m .....	48
10.4.2	Úsek 1,5 – 6,0 m .....	50
10.4.3	Úsek 6,0 – 7,0 m .....	52
10.4.4	Úsek 7,0 – 9,0 m .....	54
<b>11</b>	<b>Závěr.....</b>	<b>56</b>

## 1 Dispozice mostního objektu

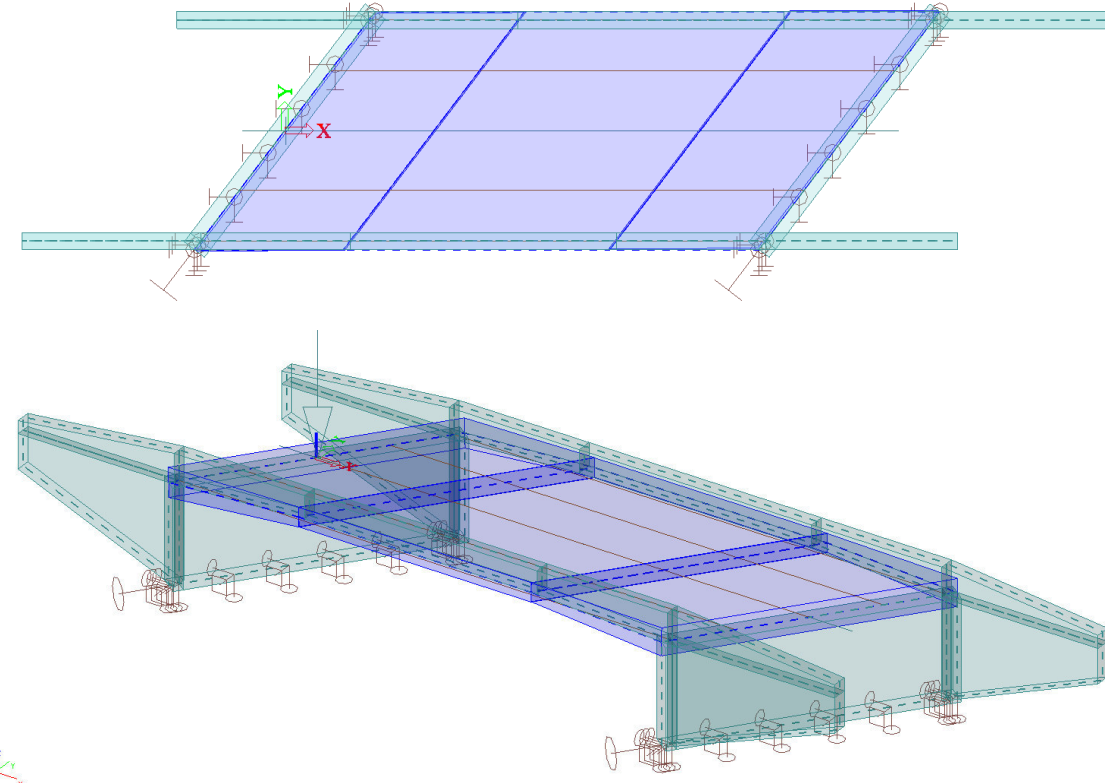
### Podélný řez – nový stav



## 2 Výpočtový model

Pro výpočet mostního objektu byl zvolen deskový-stěnový 3D model. Pro desku je zvolen izotropní FEM model s proměnnou tloušťkou desky v střechovitém sklonu k podpěrám.

Nosníky jsou modelovány jako stěnové prvky a připojeny k desce a křídłům, křídla jsou stěnové prvky spojeny tuhými vazbami se stěnami rámu.



Deska je podepřena s omezujícími podmínkami:

### Podpory v uzlu

Jméno	Uzel	Systém	Typ	X	Y	Z	Rx	Ry	Rz	Úhel [deg]
Sn1	N58	GSS	Standard	Volný	Tuhý	Volný	Volný	Volný	Volný	Rz-37.33
Sn2	N52	GSS	Standard	Volný	Tuhý	Volný	Volný	Volný	Volný	Rz-37.33

### Liniové podpory na hranách ploch

Jméno	Plocha Hrana	Poč Souř.	Poz x <sub>1</sub> Poz x <sub>2</sub>	X	Y	Z	Rx	Ry	Rz
Sle1	S3	Od počátku	0.000	Tuhý	Volný	Tuhý	Volný	Tuhý	Volný
		3	Rela	1.000					
Sle2	S5	Od počátku	0.000	Tuhý	Volný	Tuhý	Volný	Tuhý	Volný
		3	Rela	1.000					
Sle3	S8	Od počátku	0.000	Tuhý	Volný	Tuhý	Volný	Tuhý	Volný
		3	Rela	1.000					
Sle4	S6	Od počátku	0.000	Tuhý	Volný	Tuhý	Volný	Tuhý	Volný
		3	Rela	1.000					
Sle5	S4	Od počátku	0.000	Tuhý	Volný	Tuhý	Volný	Tuhý	Volný
		3	Rela	1.000					
Sle6	S7	Od počátku	0.000	Tuhý	Volný	Tuhý	Volný	Tuhý	Volný
		3	Rela	1.000					

## 3 Zatížení

Při zadávání zatížení a stanovení součinitelů zatížení se postupuje podle ČSN EN 1990 ed.2 Zásady navrhování konstrukcí, ČSN EN 1991-1-4 Obecná zatížení - Zatížení větrem, ČSN EN 1991-1-5 Obecná zatížení - Zatížení teplotou a ČSN EN 1991-2 ed.2 Zatížení konstrukcí – Zatížení mostů dopravou vč. změn. Hodnoty zatížení jsou uváděny v charakteristických hodnotách.

### 3.1 Stálá zatížení

$$\gamma_g = 1,35; \xi = 0,85$$

Jméno	Popis	Typ působení	Skupina zatížení	Typ zatížení	Směr
ZS1	vlastní tíha	Stálé	Vlastní tíha	Vlastní tíha	-Z
ZS2	nadbetonávka	Stálé	Vlastní tíha	Standard	
ZS3	izolace + ochrana	Stálé	Vlastní tíha	Standard	
ZS4	kolejové lože	Stálé	Vlastní tíha	Standard	
ZS5	prazce a kolejnice	Stálé	Vlastní tíha	Standard	

#### 1) Vlastní tíha

Výpočet zatížení od vlastní tíhy byl stanoven pomocí programu na základě zadaného materiálu:

##### Beton C40/50

Objemová hmotnost  $\rho = 2500 \text{ kg.m}^{-3}$

##### Výztuž B500 B

Objemová hmotnost  $\rho = 7850 \text{ kg.m}^{-3}$

2) Římsy a zábradlí

$$- g_{1+} = 25 \cdot 0,12 + 1 = 4,00 \text{ kN.m}^{-1}$$

3) Zásyp

Zásyp za opěrami je uvažován jako působící zemní tlak v klidu. Objemová třída zeminy se uvažuje hodnotou  $\gamma_z = 20 \text{ kN.m}^{-3}$  se součinitelem příčné kontrakce  $v = 0,3$  a součinitelem vnitřního tření  $\varphi = 24,50^\circ$ .

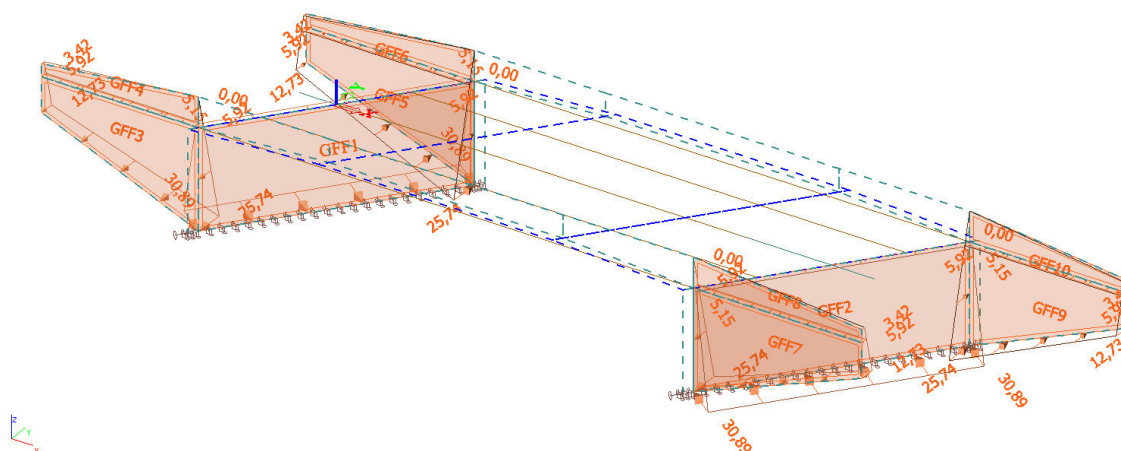
součinitel zemního tlaku v klidu

$$K_0 = \frac{v}{1-v} = \frac{0,3}{1-0,3} = 0,429$$

vodorovné napětí  $\sigma_h = \gamma_z \cdot h \cdot K_0 = 20 \cdot 3,00 \cdot 0,429 = 25,74 \text{ kN.m}^{-2}$  (v patě)

$$- g_2 = 25,74 \text{ kN.m}^{-2}$$

Generované zatížení



4) Izolace a tvrdá ochrana

Asfaltová izolace  $10 \text{ kg.m}^{-2}$  a ochrana izolace v tl.  $60 \text{ mm } 2500 \text{ kg.m}^{-3}$ .

$$- g_3 = 25 \cdot 0,060 + 0,1 = 1,60 \text{ kN.m}^{-2}$$

5) Kolejové lože

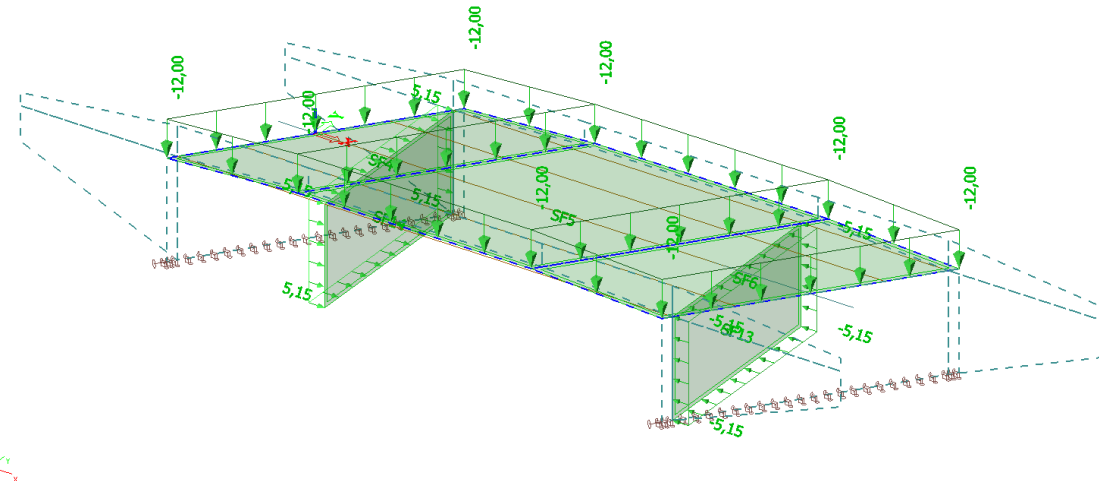
Kolejové lože se uvažuje s výškou  $600 \text{ mm}$  a objemovou tříhou  $\gamma_l = 20 \text{ kN.m}^{-3}$  s úhlem vnitřního tření  $\varphi = 38^\circ$ . Výška KL se uvažuje podle skutečného stavu. Mimo most je zatížení přepočteno součinitelem zemního tlaku v klidu  $K_0$ .

$$- g_4 = 20 \cdot 0,600 = 12,00 \text{ kN.m}^{-2}$$

Roznos zásypem

$$- g_4' = 12 \cdot 0,429 = 5,15 \text{ kN.m}^{-2}$$

### Zadané zatížení



#### 6) Pražce a kolejnice

Zatížení je uvažováno pro kolejnice na betonových pražcích rozneseno v tloušťce štěrkového lože v sklonu 4:1 od hrany pražce na šířku 2,715 m v ose kolejí.

$$- g5 \quad 1,2+4,8 = 6 \text{ kN/m} / 2,605 = 2,30 \text{ kN.m}^{-2}$$

## 3.2 Proměnná zatížení

Jméno	Popis	Typ působení	Skupina zatížení	Typ zatížení	Spec	Působení	Řídicí zat. stav
ZS6	LM71	Proměnné	LM71	Statické	Standard	Krátkodobé	Žádný
ZS7	rozjezdové LM71	Proměnné	Rozjezdové LM71	Statické	Standard	Krátkodobé	Žádný
ZS8	boční ráz LM71	Proměnné	Boční ráz LM71	Statické	Standard	Krátkodobé	Žádný
ZS12	vítr	Proměnné	Vítr	Statické	Standard	Krátkodobé	Žádný
ZS13	teplota N +	Proměnné	Teplota	Statické	Standard	Krátkodobé	Žádný
ZS14	teplota N -	Proměnné	Teplota	Statické	Standard	Krátkodobé	Žádný
ZS15	teplota M heat	Proměnné	Teplota	Statické	Standard	Krátkodobé	Žádný
ZS16	teplota M cool	Proměnné	Teplota	Statické	Standard	Krátkodobé	Žádný
ZS9	SW/2	Proměnné	SW/2	Statické	Standard	Krátkodobé	Žádný
ZS10	brzdné SW/2	Proměnné	Teplota	Statické	Standard	Krátkodobé	Žádný
ZS11	boční ráz SW/2	Proměnné	Boční ráz SW/2	Statické	Standard	Krátkodobé	Žádný

### Dynamické účinky (pro standardně udržovanou kolej)

- bez redukce dynamických účinků, pro svislá zatížení od LM71 a SW/2
- $L_\Phi = 26,66 \text{ m}$  (dvojnásobek rozpětí konstrukce)

$$\Phi_3 = \frac{2,16}{\sqrt{L_\Phi} - 0,2} + 0,73 = \frac{2,16}{\sqrt{26,66} - 0,2} + 0,73 = 1,17 \leq 2,00$$

### 3.2.1 Model LM71

$$\gamma_{Q,LM71} = 1,45; \psi_0 = 0,8; \psi_1 = 0,8; \psi_2 = 0$$

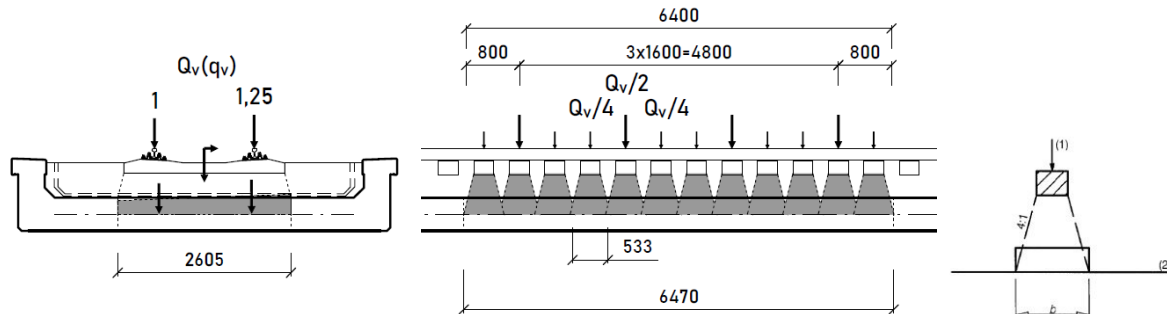
$$\alpha = 1,21 \text{ (klasifikační součinitel pro tratě 1. třídy)}$$

Model sestává s rovnoměrného zatížení  $80 \text{ kN.m}^{-1}$  a osamělých sil  $4 \times 250 \text{ kN}$ . Zatížení je rozneseno v příčném a podélném směru. V příčném směru na šířku 2,605 m a osamělé zatížení v podélném směru na 3 kolejnicové podpory. Roznos na NK je na délku 0,533 m.

$$- \text{ rovnoměrné zatížení (q}_v\text{)} \quad 1,21 \cdot 1,17 \cdot 80 / 2,605 = \quad 43,48 \text{ kN.m}^{-1}/\text{m}$$

- osamělé zatížení ( $Q_v$ )  $1,21 \cdot 1,17 \cdot (250/2) / (2,605 \cdot 0,533) = 127,45 \text{ kN.m}^{-2}$
- $1,21 \cdot 1,17 \cdot (250/4) / (2,605 \cdot 0,533) = 63,73 \text{ kN.m}^{-2}$

### Příčný a podélný roznos

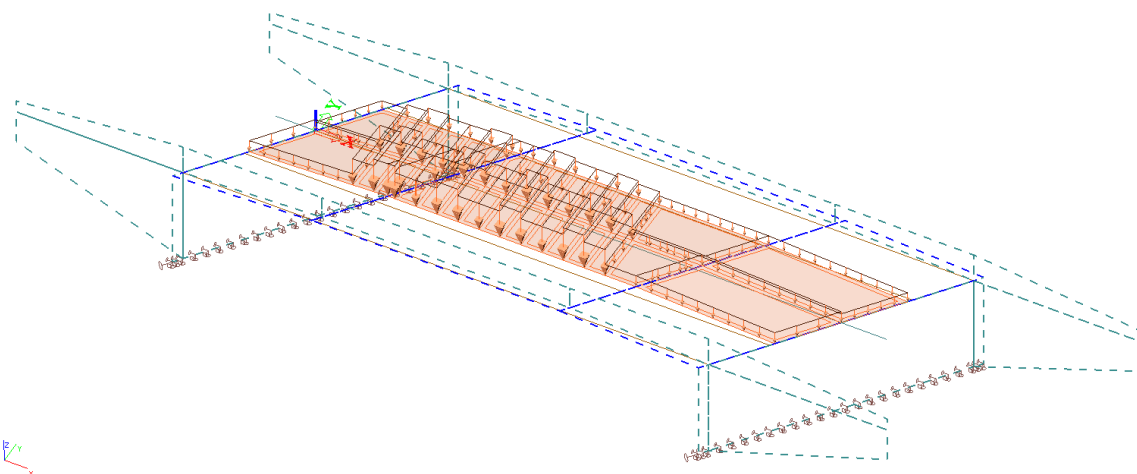


### Excentricita zatížení

Uvažuje se podle ČSN EN 1991-2, zatížení se přenese kolejnicemi v poměru 1,25:1.

$$\Delta_{qv} = \frac{0,25}{2,25} \cdot \alpha \cdot \Phi_3 \cdot q_v = \frac{0,25}{2,25} \cdot 43,48 = \pm 4,83 \text{ kNm}^{-1}/\text{m}$$

$$\Delta_{Qv} = \frac{0,25}{2,25} \cdot \alpha \cdot \Phi_3 \cdot Q_v = \frac{0,25}{2,25} \cdot 127,45(63,73) = \pm 14,16(7,08) \text{ kNm}^{-2}$$



### 3.2.2 Vodorovné síly (k modelu LM71)

Vodorovné síly se uvažují bez dynamických účinků.

$$\gamma_{Q,ab} = 1,45; \gamma_{Q,s} = 1,45; \psi_0 = 1,0; \psi_1 = 0,8; \psi_2 = 0$$

$$\alpha = 1,21 \text{ (klasifikační součinitel pro tratě 1. třídy)}$$

- 1) Odstředivé síly

Nevyskytuje se.

- 2) Boční ráz

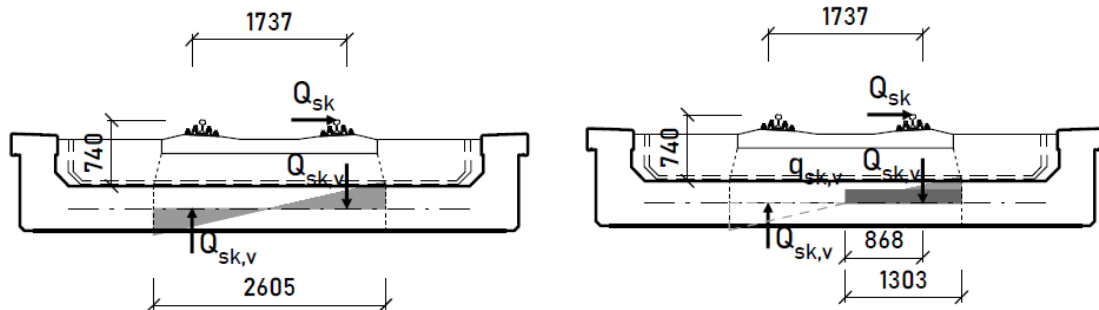
Uvažován hodnotou 100 kN v úrovni temene kolejnice. Odlehčující účinky nejsou uvažovány.

- vodorovná síla  $\alpha \cdot Q_{sk} = 1,21 \cdot 100 = 121 \text{ kN}$

#### Přepočet zatížení do svislého směru

$$Q_{sk,v} = \alpha \cdot Q_{sk} \cdot e / (2/3 \cdot b) = 121 \cdot 0,74 / 1,737 = 51,55 \text{ kN}$$

$$q_{sk,v} = Q_{sk,v} / b/2 = 51,55 / 1,303 = 39,58 \text{ kN.m}^{-1}$$



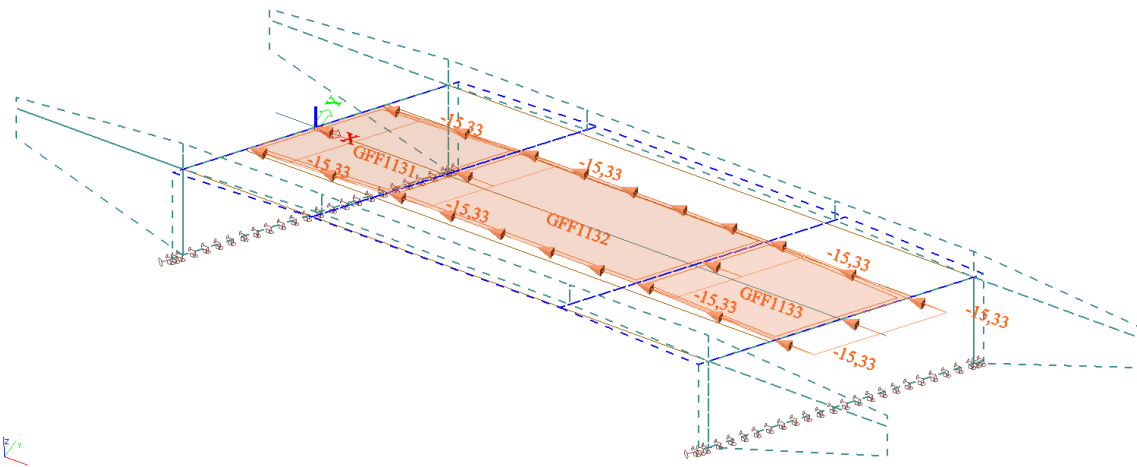
#### 3) Rozjezdové a brzdné síly

Uvažované jsou síly pro model LM71 se směrem působení shodným se směrem dopravy.

- rozjezdové síly  $\alpha \cdot Q_{lak} = 1,21 \cdot 33 = 39,93 \text{ kN/m} \leq 1000 \text{ kN}$  (na délce max. 30,303 m)
- brzdné síly  $\alpha \cdot Q_{lbk} = 1,21 \cdot 20 = 24,20 \text{ kN/m} \leq 6000 \text{ kN}$  (na délce max. 300 m)

$$q_{lak} = \alpha \cdot Q_{lak} / b = 39,93 / 2,605 = 15,33 \text{ kN.m}^{-1}/\text{m}$$

$$q_{lbk} = \alpha \cdot Q_{lbk} / b = 24,20 / 2,605 = 9,29 \text{ kN.m}^{-1}/\text{m}$$



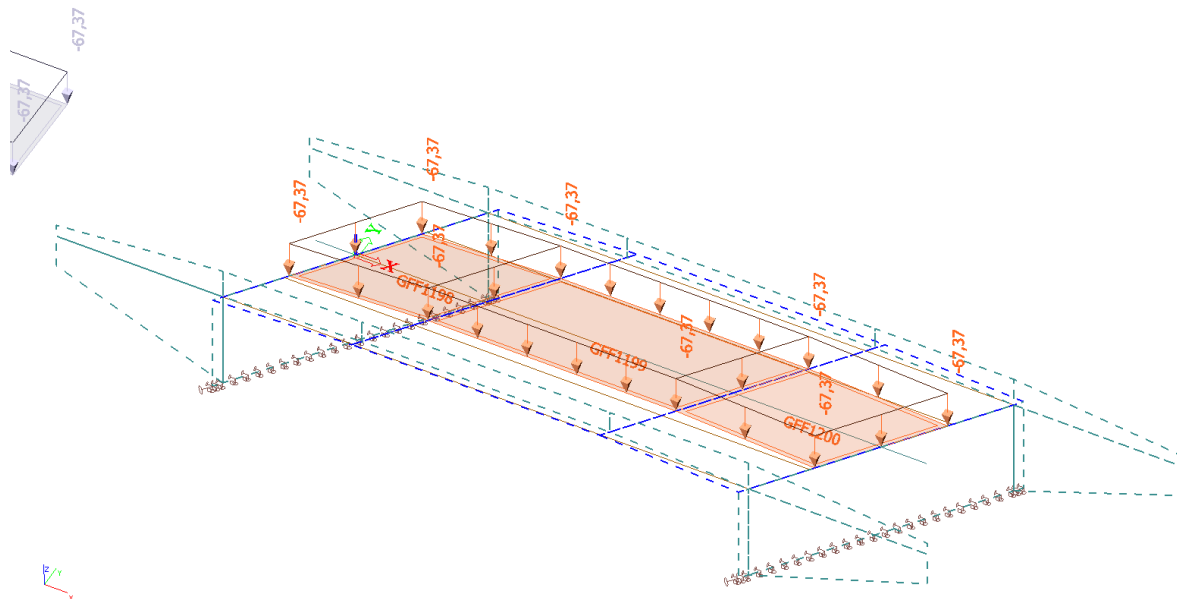
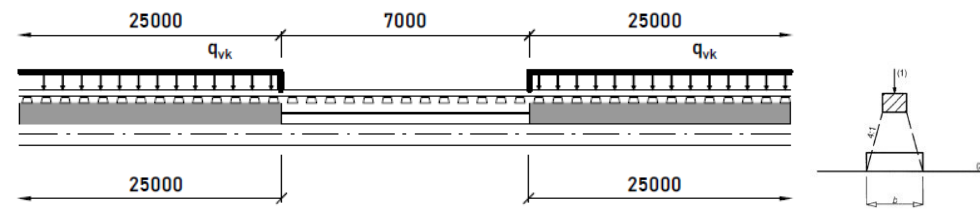
#### 3.2.3 Model SW/2

$$\gamma_{Q,SW/2} = 1,2; \psi_0 = 0; \psi_1 = 1,0; \psi_2 = 0$$

Model sestává s rovnoměrného zatížení  $150 \text{ kN.m}^{-1}$  na délce 225 m oddělených mezerou 7,0 m. Zatížení je rozneseno v příčném směru na šířku 2,605.

- rovnoměrné zatížení ( $q_v$ )  $1,17 \cdot 150 / 2,605 = 67,37 \text{ kN.m}^{-1}/\text{m}$

### Příčný a podélný roznos



### **3.2.4 Vodorovné síly (k modelu SW/2)**

Vodorovné síly se uvažují bez dynamických účinků.

$$\gamma_{Q,ab} = 1,2; \gamma_{Q,s} = 1,2; \psi_0 = 0; \psi_1 = 1,0; \psi_2 = 0$$

1) Odstředivé síly

Nevyskytuje se.

2) Boční ráz

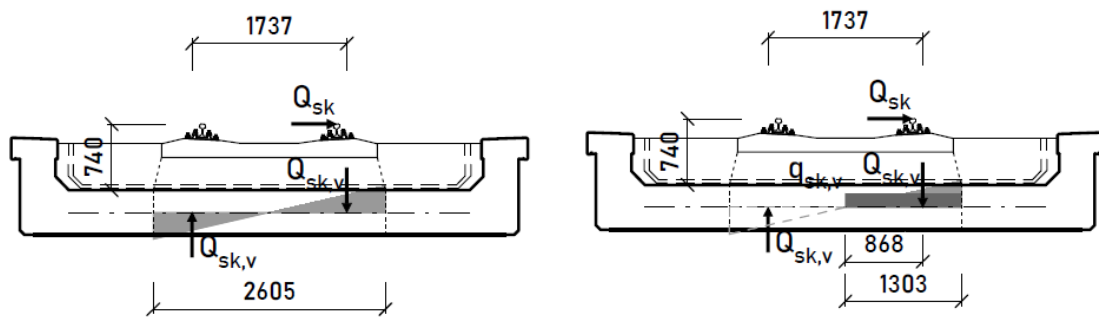
Uvažován hodnotou 100 kN v úrovni temene kolejnice. Odlehčující účinky nejsou uvažovány.

- vodorovná síla  $Q_{sk} = 100 \text{ kN}$

### Přepočet zatížení do svislého směru

$$Q_{sk,v} = Q_{sk} \cdot e / (2/3 \cdot b) = 100 \cdot 0,74 / 1,737 = 42,60 \text{ kN}$$

$$q_{sk,v} = Q_{sk,v} / b/2 = 42,60 / 1,303 = 32,71 \text{ kN.m}^{-1}$$



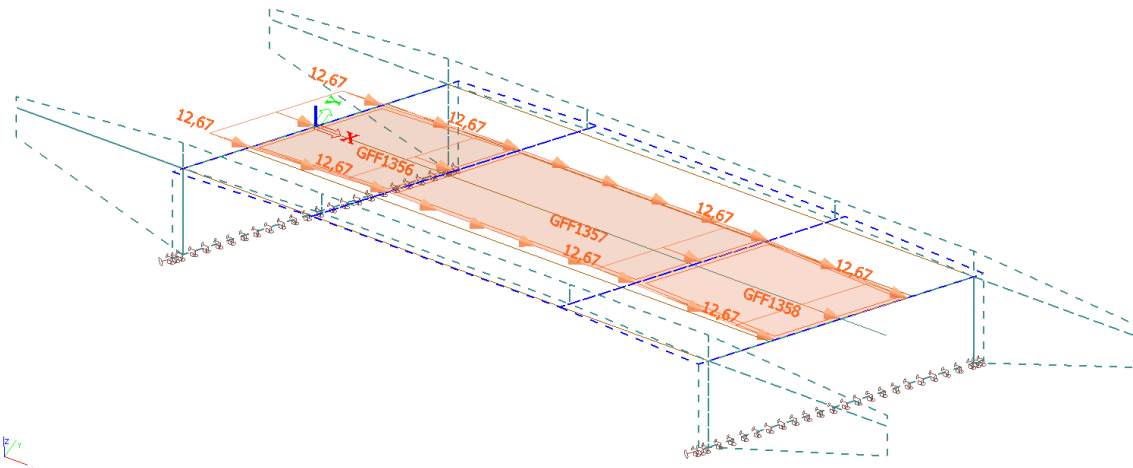
### 3) Rozjezdové a brzdné síly

Uvažované jsou síly pro model LM71 se směrem působení shodným se směrem dopravy.

- rozjezdové síly       $Q_{lak} = 33 \text{ kN.m}^{-1} \leq 1000 \text{ kN}$  (na délce max. 30,303 m)
- brzdné síly       $Q_{lbk} = 35 \text{ kN.m}^{-1}$

$$q_{lak} = Q_{lak} / b = 33,00 / 2,605 = 12,67 \text{ kN.m}^{-1}$$

$$q_{lbk} = Q_{lbk} / b = 35,00 / 2,605 = 13,44 \text{ kN.m}^{-1}$$



### 3.2.5 Vítr

Rychlosť větru je uvažována pro větrovou oblast II a kategorii terénu II. Výsledná síla od větru působí v úrovni temene kolejnice a vyvolaný moment je přepočítán na svislé zatížení. Pro výpočet síly od větru se použije zjednodušená metoda.

Směr větru je uvažován vždy jedním směrem a působící po celé délce mostu, jako nejnepříznivější se uvažuje, když působí na kolej z návětrné strany mostu. Referenční plocha se uvažuje  $h_{ref} = 4,0 \text{ m}$  nad temeno kolejnic a rovnoramenná síla po délce mostu působící v její polovině.

$$\gamma_w = 1,5; \psi_0 = 0,75; \psi_1 = 0,5; \psi_2 = 0$$

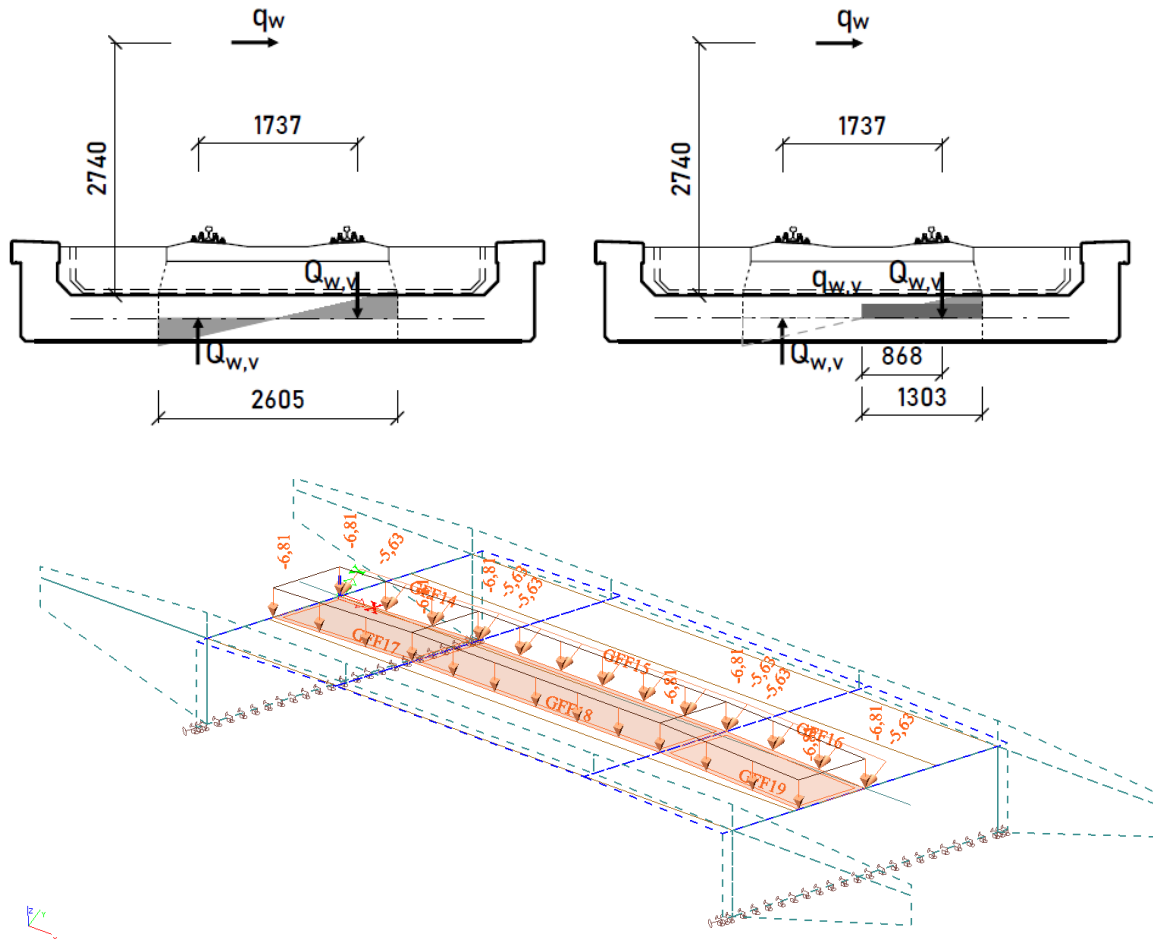
$$v_b = v_{b,0} = 25 \text{ m.s}^{-1}$$

$$C = 3,60 \text{ (podle tab. 8.2 - ČSN EN 1991-1-4)}$$

$$q_w = \frac{1}{2} \cdot \rho \cdot v_b^2 \cdot C \cdot h_{ref} = \frac{1}{2} \cdot 1,25 \cdot 25^2 \cdot 3,60 \cdot 4,0 = 5\,625 \text{ N/m} = 5,625 \text{ kN/m}$$

$$Q_{w,v} = q_w \cdot h_w / (2/3 \cdot b) = 5,625 \cdot 2,740 / 1,737 = 8,873 \text{ kN/m}$$

$$q_{w,v} = Q_{w,v} / b/2 = 8,873/1,303 = 6,81 \text{ kN.m}^{-1}/\text{m}$$



### 3.2.6 Teplota

$$\gamma_t = 1,5; \psi_0 = 0,6; \psi_1 = 0,6; \psi_2 = 0$$

$$\alpha_t = 10 \cdot 10^{-6} \text{ } ^\circ\text{C}$$

Uvažuje se působení rovnoramenné složky teploty a svislé lineární rozdílové složky teploty. Maximální teploty pro danou lokalitu jsou v mezích  $T_{\max} \in <38,1; 40,0> \text{ } ^\circ\text{C}$  a minimální teploty v mezích  $T_{\min} \in <-32,0; -30,1> \text{ } ^\circ\text{C}$  (podle obr. NA.1, NA.2 – ČSN EN 1991-1-5).  $T_0 = 10 \text{ } ^\circ\text{C}$ .

Pro stanovení rozdílových složek teplot je konstrukce ZBN považována za 3. typ. Vliv SVI a tloušťky kolejového lože je zahrnut pomocí součinitele  $k_{\text{sur,heat}} = 0,8$  a  $k_{\text{sur,cool}} = 1,2$ :

- 1) Rovnoměrné složky (průměr teplot pro danou lokalitu)

$$T_{\max} = +39 \text{ } ^\circ\text{C} \quad T_{e,\max} = T_{\max} + 1,5 \text{ } ^\circ\text{C} = +39+1,5 = +40,5 \text{ } ^\circ\text{C}$$

$$T_{\min} = -31 \text{ } ^\circ\text{C} \quad T_{e,\min} = T_{\min} + 8,0 \text{ } ^\circ\text{C} = -31+8,0 = -23,0 \text{ } ^\circ\text{C}$$

$$\Delta T_{N,\exp} = T_{e,\max} - T_0 = +40,5 - 10 = +30,5 \text{ } ^\circ\text{C}$$

$$\Delta T_{N,\text{con}} = T_{e,\min} - T_0 = -23,0 - 10 = -33,0 \text{ } ^\circ\text{C}$$

- 2) Svislé lineární složky (podle tab. 6.1 a 6.2 – ČSN EN 1991-1-5)

$$\Delta T_{M,\text{heat}} = +15 \text{ } ^\circ\text{C}; \quad k_{\text{sur,heat}} \cdot \Delta T_{M,\text{heat}} = 0,6 \cdot 15 = +9,0 \text{ } ^\circ\text{C}$$

$$\Delta T_{M,cool} = -8 \text{ } ^\circ\text{C}; \quad k_{sur,cool} \cdot \Delta T_{M,cool} = 1,0 \cdot (-8) = \mathbf{-8,0} \text{ } ^\circ\text{C}$$

## 4 Kombinace zatížení

Sestavy jsou uvažovány gr11 – gr12 a gr16 – gr17. Pro sestavy zatížení dopravou platí hodnoty  $\psi_0 = 0,8; \psi_1 = 0,8; \psi_2 = 0$ .

Jednotlivé kombinace jsou vypsány na konci statického výpočtu.

### 4.1 MSÚ

Pro kombinace zatížení jsou použity kombinační vztahy (STR/GEO) (Soubor B)

- 6.10a  
 $\gamma_{G,j} \cdot G_{k,j} + \gamma_P \cdot P + \gamma_{Q,1} \cdot \psi_{0,1} \cdot Q_{k,1} + \gamma_{Q,i+1} \cdot \psi_{0,i+1} \cdot Q_{k,i+1}$
- 6.10b  
 $\xi \cdot \gamma_{G,j} \cdot G_{k,j} + \gamma_P \cdot P + \gamma_{Q,1} \cdot Q_{k,1} + \gamma_{Q,i+1} \cdot \psi_{0,i+1} \cdot Q_{k,i+1}$

### 4.2 MSP

Pro kombinace zatížení jsou použity kombinační vztahy

- charakteristická  
 $G_{k,j} + P + Q_{k,1} + \psi_{0,i+1} \cdot Q_{k,i+1}$
- častá  
 $G_{k,j} + P + \psi_{1,1} \cdot Q_{k,1} + \psi_{2,i+1} \cdot Q_{k,i+1}$
- kvazistálá  
 $G_{k,j} + P + \psi_{2,1} \cdot Q_{k,1} + \psi_{2,i+1} \cdot Q_{k,i+1}$

## 5 Skupiny výsledků

Kombinace jsou zahrnuty do skupiny výsledků, které vybírají nejnepříznivější kombinaci.

Jméno	Výpis
RC1	CO1 - Obálka - únosnost
	CO2 - Obálka - únosnost
	CO3 - Obálka - únosnost
	CO4 - Obálka - únosnost
	CO5 - Obálka - únosnost
	CO6 - Obálka - únosnost
	CO7 - Obálka - únosnost
	CO8 - Obálka - únosnost
Jméno	Výpis
RC2	CO9 - Obálka - použitelnost
RC3	CO10 - Obálka - použitelnost
	CO11 - Obálka - použitelnost
	CO12 - Obálka - použitelnost

## 6 MSÚ

Pro posouzení krajních stěn je stanovena šířka spolupůsobící desky 550 mm.

### Volba materiálů

#### Výztuž

B500 B

#### Beton

C 40/50

$f_{syk} = 500 \text{ MPa}$

$f_{ck} = 40 \text{ MPa}$

$E_s = 200 \text{ GPa}$

$E_c = 35,2 \text{ GPa}$

$f_{syd} = 434,8 \text{ MPa}$

$f_{cd} = 26,7 \text{ MPa}$

$n_s = 5,6818182$

$\eta = 1,0$

$n_{s,lt} = 17,045455$

$E_{c,lt} = 11,7 \text{ GPa}$

### Volba materiálových diagramů

#### Beton

rovnoměrné napětí

bilineární

parabolicko-rektangulární

$\epsilon_{c2(3)} = 1,75 \%$

$\epsilon_{cu2(3)} = 3,50 \%$

$\varphi_{lt} = 2$

## 6.1 Posouzení desky rámu

### Posouzení v poli ve směru x

#### Rozměry

$b = 1000 \text{ mm}$

$h = 500 \text{ mm}$

#### Zatížení

$N_{Ed} = 1057,28 \text{ kN}$

$M_{y,Ed} = 494,15 \text{ kNm}$

$M_{z,Ed} = 0,00 \text{ kNm}$

#### Výztuž

výztuž se zpevněním

$\epsilon_{syd} = 2,17 \%$

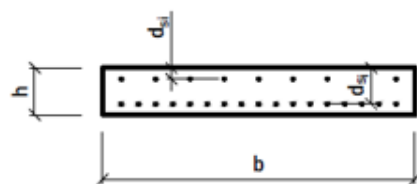
$\epsilon_{sud} = 45,00 \%$

$c_{nom} = 58 \text{ mm}$

$x_{lim} = 354,3 \text{ mm}$

$A_{c,ULS} = 500000 \text{ mm}^2$

$C_{g,ULS} = 250,0 \text{ mm}$



#### Rovnováha sil

$$F_s + F_c - N_{Ed} = 0,00 \quad > 0 \Rightarrow x_{i+1} > x_i \quad x_i = 50,488 \text{ mm}$$

$$< 0 \Rightarrow x_{i+1} < x_i \quad x_{i+1} = 50,488 \text{ mm}$$

!!!  $x < x_{lim}$  !!!

$$M_{y,Rd} = 636,05 \text{ kNm} > 494,15 \text{ kNm}$$

#### Stupeň vyztužení

$$A_{s,min} = 559 \text{ mm}^2 < A_s = 4909 \text{ mm}^2$$

$$A_{s,max} = 20000 \text{ mm}^2$$

ks	$\emptyset$ [mm]	$d_{si}$ [mm]	$A_{si}$ [mm $^2$ ]
			0
			0
			0
			0
10	25	430	4909

### Posouzení v poli ve směru y

#### Rozměry

$b = 1000 \text{ mm}$

$h = 500 \text{ mm}$

#### Zatížení

$N_{Ed} = 1071,34 \text{ kN}$

$M_{y,Ed} = 399,09 \text{ kNm}$

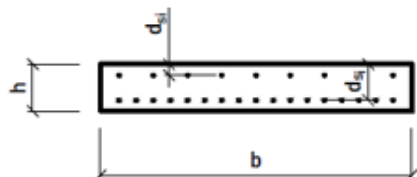
$M_{z,Ed} = 0,00 \text{ kNm}$

#### Výztuž

výztuž se zpevněním

$\varepsilon_{syd} = 2,17 \%$

$\varepsilon_{sud} = 45,00 \%$



$c_{nom} = 58 \text{ mm}$

$x_{lim} = 354,3 \text{ mm}$

$A_{c,ULS} = 500000 \text{ mm}^2$

$C_{g,ULS} = 250,0 \text{ mm}$

#### Rovnováha sil

$$F_s + F_c - N_{Ed} = 0,00$$

$$> 0 \Rightarrow x_{[i+1]} > x_i \quad x_i = 49,828 \text{ mm}$$

$$< 0 \Rightarrow x_{[i+1]} < x_i \quad x_{[i+1]} = 49,828 \text{ mm}$$

!!!  $x < x_{lim}$  !!!

$$M_{y,Rd} = 579,63 \text{ kNm} > 399,09 \text{ kNm}$$

#### Stupeň vyztužení

$$A_{s,min} = 527 \text{ mm}^2$$

$$< A_s = 4909 \text{ mm}^2$$

$$A_{s,max} = 20000 \text{ mm}^2$$

ks	$\emptyset$ [mm]	$d_{si}$ [mm]	$A_{si}$ [ $\text{mm}^2$ ]
			0
			0
			0
			0
10	25	405	4909

### Posouzení v ose v místě rámového rohu

#### Rozměry

$b = 1000 \text{ mm}$

$h = 750 \text{ mm}$

#### Zatížení

$N_{Ed} = 5163,15 \text{ kN}$

$M_{y,Ed} = 667,54 \text{ kNm}$

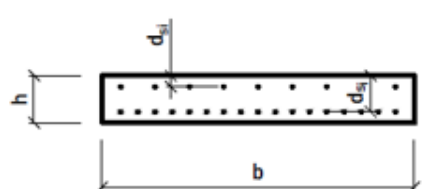
$M_{z,Ed} = 0,00 \text{ kNm}$

#### Výztuž

výztuž se zpevněním

$\varepsilon_{syd} = 2,17 \%$

$\varepsilon_{sud} = 45,00 \%$



$c_{nom} = 58 \text{ mm}$

$x_{lim} = 354,3 \text{ mm}$

$A_{c,ULS} = 750000 \text{ mm}^2$

$C_{g,ULS} = 375,0 \text{ mm}$

Rovnováha sil

$$F_s + F_c - N_{Ed} = 0,00 \quad \begin{array}{l} > 0 \Rightarrow x_{i+1} > x_i \quad x_i = 22,108 \text{ mm} \\ < 0 \Rightarrow x_{i+1} < x_i \quad x_{i+1} = 22,108 \text{ mm} \end{array} \quad !!! x < x_{\lim} !!!$$

$$M_{y,Rd} = 909,42 \text{ kNm} > 667,54 \text{ kNm}$$

ks	$\emptyset$ [mm]	$d_{si}$ [mm]	$A_{si}$ [ $\text{mm}^2$ ]
10	25	680	4909
10	25	610	4909
			0
			0
10	20	70	3142

Stupeň využitzení

$$A_{s,\min} = 884 \text{ mm}^2 < A_s = 12960 \text{ mm}^2$$

$$A_{s,\max} = 30000 \text{ mm}^2$$

Smyková únosnost

$$k = 1,54 \quad A_{sl} = 3142 \text{ mm}^2$$

$$C_{Rd,c} = 0,12 \quad \rho_l = 0,005$$

$$V_{z,Rd,c,\min} = 288,32 \text{ kN}$$

Posouvající smykové síly

$$V_{z,Ed} = 573,28 \text{ kN}$$

$$V_{z,Ed,\max} = 573,28 \text{ kN}$$

$$V_{z,Rd,c} = 332,75 \text{ kN} < 573,28 \text{ kN} \Rightarrow \text{nutný návrh smykové výzvaze}$$

$$s_{l,\max} = 400 \text{ mm} \quad \alpha_{w,st} = 90^\circ$$

$$s_{t,\max} = 510 \text{ mm}$$

$$v_1 = 0,504$$

$$V_{z,Rd,\max} = 4294,02 \text{ kN}$$

Třmínky

ks	$\emptyset$ [mm]	$A_{sw,st}$ [ $\text{mm}^2$ ]	$s_l$ [mm]
5	8	251	200

$$\rho_{w,\min} = 0,0010 < \rho_{w,st} = 0,0013$$

$$\theta = 35^\circ$$

$$\alpha_{cw} = 1,0$$

$$V_{z,Rd,sl} = 521,29 \text{ kN} < 573,28 \text{ kN}$$

Ohyby

$$s_{l,\max} = 816 \text{ mm} \quad \alpha_{w,b} = 45^\circ$$

ks	$\emptyset$ [mm]	$A_{sw,b}$ [ $\text{mm}^2$ ]	$s_l$ [mm]
3,33	25	1635	500

$$V_{z,Rd,ob} = 807,93 \text{ kN} > 573,28 \text{ kN}$$

$$\rho_w = 0,0059$$

## 6.2 Posouzení krajních stěn desky

### Posouzení v ose v místě rámového rohu

#### Rozměry

$b = 950 \text{ mm}$        $h = 1100 \text{ mm}$   
 $b_w = 400 \text{ mm}$        $h_d = 750 \text{ mm}$   
 $b_1 = 0 \text{ mm}$        $h_w = 350 \text{ mm}$   
 $b_2 = 550 \text{ mm}$

#### Zatížení

$N_{Ed} = 558,61 \text{ kN}$        výztuž se zpevněním  
 $M_{y,Ed} = 2017,83 \text{ kNm}$        $\epsilon_{syd} = 2,17 \%$   
 $M_{z,Ed} = 0,00 \text{ kNm}$        $\epsilon_{sud} = 45,00 \%$

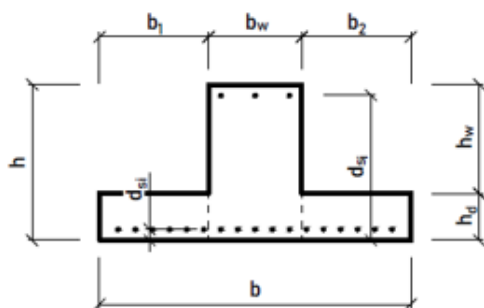
#### Výztuž

$c_{nom} = 58 \text{ mm}$

$x_{lim} = 318,8 \text{ mm}$

$A_{c,ULS} = 852500 \text{ mm}^2$

$C_{g,ULS} = 634,7 \text{ mm}$



ks	$\emptyset [\text{mm}]$	$d_{si} [\text{mm}]$	$A_{si} [\text{mm}^2]$
4	25	1030	1963
4	25	960	1963
			0
9	25	680	4418
9	20	70	2827

#### Rovnováha sil

$$F_s + F_c - N_{Ed} = 0,00 \quad > 0 \Rightarrow x_{(i+1)} > x_i \quad x_i = 113,839 \text{ mm}$$

$$< 0 \Rightarrow x_{(i+1)} < x_i \quad x_{(i+1)} = 113,839 \text{ mm} \quad !!! x < x_{lim} !!!$$

$M_{y,Rd} = 2512,68 \text{ kNm} > 2017,83 \text{ kNm}$

#### Stupeň vyztužení

$A_{s,min} = 536 \text{ mm}^2 < A_s = 11171 \text{ mm}^2$

$A_{s,max} = 17600 \text{ mm}^2$

#### Příčná výztuž pro zajištění výztuže v tlaku

- osová vzdálenost příčné výztuže v spolup. desce

$s_{l,max} = 300 \text{ mm}$

#### Smyková únosnost

$k = 1,44$

$A_{sl} = 2827 \text{ mm}^2$

$C_{Rd,c} = 0,12$

$\rho_l = 0,007$

$V_{z,Rd,c,min} = 157,70 \text{ kN}$

#### Posouvající smykové síly

$V_{z,Ed} = 1423,25 \text{ kN}$

$V_{z,Ed,max} = 1423,25 \text{ kN}$

$$V_{z,Rd,c} = 214,85 \text{ kN} < 1423,25 \text{ kN} \Rightarrow \text{nutný návrh smykové výztuže}$$

Třmínky

ks	$\emptyset$ [mm]	$A_{sw,st}$ [ $\text{mm}^2$ ]	$s_l$ [mm]
4	10	314	200

$$s_{l,max} = 400 \text{ mm}$$

$$\alpha_{w,st} = 90^\circ$$

$$s_{t,max} = 600 \text{ mm}$$

$$v_1 = 0,504$$

$$V_{z,Rd,max} = 2601,67 \text{ kN}$$

$$\rho_{w,min} = 0,0010$$

$$< \rho_{w,st} = 0,0039$$

$$\theta = 35^\circ$$

$$\alpha_{cw} = 1,0$$

$$V_{z,Rd,sl} = 948,62 \text{ kN} < 1423,25 \text{ kN}$$

Ohyby

ks	$\emptyset$ [mm]	$A_{sw,b}$ [ $\text{mm}^2$ ]	$s_l$ [mm]
2	25	982	500

$$V_{z,Rd,sb} = 1660,25 \text{ kN} > 1423,25 \text{ kN}$$

$$\rho_w = 0,0109$$

Podélný smyk mezi stěnou a přírubami

$$\Delta x = 1000 \text{ mm}$$

$$\theta_f = 40^\circ$$

$$v = 0,504$$

$$k = 0,4$$

Zatížení

$$\Delta M_{y,Ed} = 750,00 \text{ kNm}$$

$$z = 973,1 \text{ mm}$$

$$\Delta F_{x,Ed,1} = 446,22 \text{ kN}$$

$$V_{x,Ed} = 0,59 \text{ MPa} > k \cdot f_{ctd} = 0,29 \text{ MPa} \Rightarrow \text{nutný návrh přídavné příčné výztuže}$$

$$V_{Rd,max} = 6,62 \text{ MPa} > 0,59 \text{ MPa}$$

$$A_{sf,req} = 258 \text{ mm}^2 \Rightarrow \text{nutná příčná výztuž v desce}$$

ks	$\emptyset$ [mm]	$A_{sf}$ [ $\text{mm}^2$ ]	$s_l$ [mm]
2	14	308	300

## 6.3 Posouzení stěn rámu

Rozměry

$$b = 1000 \text{ mm}$$

$$h = 755 \text{ mm}$$

Zatížení

$$N_{Ed} = 488,00 \text{ kN}$$

Výztuž

výztuž se zpevněním

$$M_{y,Ed} = 503,17 \text{ kNm}$$

$$\epsilon_{syd} = 2,17 \%$$

$$M_{z,Ed} = 0,00 \text{ kNm}$$

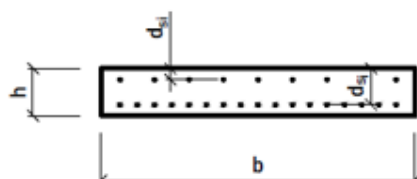
$$\epsilon_{sud} = 45,00 \%$$

$$c_{nom} = 73 \text{ mm}$$

$$x_{lim} = 354,3 \text{ mm}$$

$$A_{c,ULS} = 755000 \text{ mm}^2$$

$$C_{g,ULS} = 377,5 \text{ mm}$$



### Rovnováha sil

$$F_s + F_c - N_{Ed} = 28,03 \quad > 0 \Rightarrow x_{(i+1)} > x_i \quad x_i = 86,844 \text{ mm}$$

$$< 0 \Rightarrow x_{(i+1)} < x_i \quad x_{(i+1)} = 87,124 \text{ mm} \quad !!! x < x_{lim} !!!$$

$$M_{y,Rd} = 1205,28 \text{ kNm} > 503,17 \text{ kNm}$$

ks	$\emptyset$ [mm]	$d_{si}$ [mm]	$A_{si}$ [ $\text{mm}^2$ ]
10	25	90	4909
			0
			0
			0
10	25	665	4909

### Stupeň vyztužení

$$A_{s,min} = 865 \text{ mm}^2 < A_s = 9818 \text{ mm}^2$$

$$A_{s,max} = 30200 \text{ mm}^2$$

## 6.4 Posouzení křídel

### Rozměry

$$b = 1000 \text{ mm}$$

$$h = 400 \text{ mm}$$

### Zatížení

$$N_{Ed} = 571,06 \text{ kN}$$

$$M_{y,Ed} = 48,94 \text{ kNm}$$

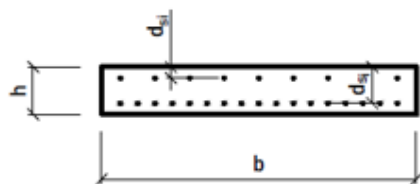
$$M_{z,Ed} = 0,00 \text{ kNm}$$

### Výztuž

výztuž se zpevněním

$$\epsilon_{syd} = 2,17 \%$$

$$\epsilon_{sud} = 45,00 \%$$



$$c_{nom} = 58 \text{ mm}$$

$$x_{lim} = 113,4 \text{ mm}$$

$$A_{c,ULS} = 400000 \text{ mm}^2$$

$$C_{g,ULS} = 200,0 \text{ mm}$$

### Rovnováha sil

$$F_s + F_c - N_{Ed} = 0,00 \quad > 0 \Rightarrow x_{(i+1)} > x_i \quad x_i = 37,267 \text{ mm}$$

$$< 0 \Rightarrow x_{(i+1)} < x_i \quad x_{(i+1)} = 37,267 \text{ mm} \quad !!! x < x_{lim} !!!$$

$$M_{y,Rd} = 149,52 \text{ kNm} > 48,94 \text{ kNm}$$

ks	$\emptyset$ [mm]	$d_{si}$ [mm]	$A_{si}$ [ $\text{mm}^2$ ]
5	20	330	1571
			0
			0
			0
5	20	70	1571

### Stupeň vyztužení

$$A_{s,min} = 429 \text{ mm}^2 < A_s = 3142 \text{ mm}^2$$

$$A_{s,max} = 16000 \text{ mm}^2$$

### Smyková únosnost

$$k = 1,78$$

$$A_{sl} = 1571 \text{ mm}^2$$

$$C_{Rd,c} = 0,12$$

$$\rho_l = 0,005$$

$$V_{z,Rd,c,min} = 173,26 \text{ kN}$$

### Posouvající smykové síly

$$V_{z,Ed} = 78,48 \text{ kN}$$

$$V_{z,Ed,max} = 78,48 \text{ kN}$$

$$V_{z,Rd,c} = 188,07 \text{ kN} > 78,48 \text{ kN} \Rightarrow \text{konstrukční využití}$$

Třmínky	ks	$\emptyset$ [mm]	$A_{sw,st}$ [mm <sup>2</sup> ]	$s_l$ [mm]
	5	8	251	200

$$s_{l,max} = 248 \text{ mm} \quad \alpha_{w,st} = 90^\circ$$

$$s_{t,max} = 248 \text{ mm}$$

$$\nu_1 = 0,504$$

$$V_{z,Rd,max} = 2083,86 \text{ kN}$$

$$\rho_{w,min} = 0,0010 \quad < \quad \rho_{w,st} = 0,0013$$

$$\theta = 35^\circ$$

$$\alpha_{cw} = 1,0$$

## 7 MSP

### Volba materiálů

#### Výztuž

B500 B ▾

#### Beton

C 40/50 ▾

$$f_{syk} = 500 \text{ MPa}$$

$$f_{ck} = 40 \text{ MPa}$$

$$E_s = 200 \text{ GPa}$$

$$E_c = 35,2 \text{ GPa}$$

$$f_{syd} = 434,8 \text{ MPa}$$

$$f_{cd} = 26,7 \text{ MPa}$$

$$n_s = 5,6818182$$

$$\eta = 1,0$$

$$n_{s,lt} = 17,045455$$

$$E_{c,lt} = 11,7 \text{ GPa}$$

### Volba materiálových diagramů

#### Beton

rovnoměrné napětí

bilineární

parabolicko-rektangulární

$$\epsilon_{c2(3)} = 1,75 \%$$

$$\epsilon_{cu2(3)} = 3,50 \%$$

$$\varphi_{lt} = 2$$

## 7.1 Posouzení desky rámu

### Výpočet průhybu a šířky trhlin v poli

#### Plný průřez - beton

$$A_c = 500000 \text{ mm}^2$$

$$C_g = 250,0 \text{ mm}$$

$$I_y = 10416666667 \text{ mm}^4$$

#### Moment na mezi rozvoje trhlin

$$M_{y,ch.} = 364,20 \text{ kNm}$$

$$M_{y,kv.} = 154,85 \text{ kNm}$$

$$M_{cr,lt} = 164,06 \text{ kNm}$$

(pro  $f_{ctm}$ )

$$\zeta_{lt} = 0,438769139$$

$$\beta = 0,5$$

#### Ideální průřez

$$A_{c,i} = 527892 \text{ mm}^2$$

$$C_{g,i} = 259,5 \text{ mm}$$

$$I_{y,i} = 11272620342 \text{ mm}^4$$

$$B_{I,st} = 396796 \text{ kNm}^2$$

$$B_{I,lt} = 132265 \text{ kNm}^2$$

#### Přeypočtová hodnota křivosti

$$l_0 = 13,330 \text{ m}$$

$$\zeta_w = 6787716 \text{ mm}^2$$

#### Ideální průřez s trhlinou

$$\begin{aligned}x_{ir} &= 129,4773 \text{ mm} \\x_{ir,(i+1)} &= 129,4773 \text{ mm} \\\Sigma S_{cg,y} &= 0 \text{ mm}^3 \\I_{y,ir} &= 3242574388 \text{ mm}^4 \\B_{II,st} &= 114139 \text{ kNm}^2 \\B_{II,it} &= 38046 \text{ kNm}^2\end{aligned}$$

#### Posouzení průhybu

$$\begin{aligned}I_{y,it} &= 5402422735 \text{ mm}^4 \\B_{st} &= 190165 \text{ kNm}^2 \\B_{lt} &= 63388 \text{ kNm}^2 \\W_{1+2} &= 16,6 \text{ mm} \\W_3 &= 7,5 \text{ mm} \\W_c &= 20 \text{ mm} \quad (\text{nadvýšení konstrukce}) \\W_{lt} &= 7,5 \text{ mm} < 22,2 \text{ mm}\end{aligned}$$

#### Výpočet šířky trhlin

$$\begin{aligned}h_{c,ef} &= 123,5 \text{ mm} \\p_{p,ef} &= 0,0397466 \\k_1 &= 0,8 \\k_2 &= 0,5 \\k_3 &= 3,4 \\k_4 &= 0,425 \\k_t &= 0,4\end{aligned}$$

$$\begin{aligned}\sigma_s &= 81,54 \text{ MPa} \\f_{ct,ef} &= 3,5 \text{ MPa} \\(\epsilon_{sm} - \epsilon_{cm}) &= 0,0002446 \\s_{r,max} &= 304,1 \text{ mm}\end{aligned}$$

$$w_k = 0,07 \text{ mm} < 0,3 \text{ mm}$$

#### Omezení napětí v poli

##### Omezení vzniku podélných trhlin (char. kombinace)

$$\begin{aligned}N_{x,ch.} &= 703,30 \text{ kN} & k_1 &= 0,6 \\M_{y,ch.} &= 364,20 \text{ kNm} \\&\sigma_{x,c,h} = -10,07 \text{ MPa} > -k_1 \cdot f_{ck} = -24,00 \text{ MPa} \\&\sigma_{x,c,d} = 46,09 \text{ MPa}\end{aligned}$$

$$\sigma_{x,c} \geq -k_1 \cdot f_{ck}$$

##### Ověření lineárního dotvarování (kvaz. kombinace)

$$\sigma_{x,c} \geq -k_2 \cdot f_{ck}$$

$$\begin{aligned}N_{x,kv.} &= 544,16 \text{ kN} & k_2 &= 0,45 \\M_{y,kv.} &= 154,85 \text{ kNm} \\&\sigma_{x,c,h} = -2,73 \text{ MPa} > -k_2 \cdot f_{ck} = -18,00 \text{ MPa} \\&\sigma_{x,c,d} = 21,15 \text{ MPa}\end{aligned}$$

##### Omezení nepružných přetvoření výztuže (char. kombinace)

$$\sigma_{x,s} \leq k_3 \cdot f_{syk}$$

$$\begin{aligned}N_{x,ch.} &= 703,30 \text{ kNm} & k_3 &= 0,80 \\M_{y,ch.} &= 364,20 \text{ kNm} \\&\sigma_{x,s,h} = --- \\&\sigma_{x,s,d} = 217,2 \text{ MPa} < k_3 \cdot f_{syk} = 400,0 \text{ MPa}\end{aligned}$$

### Výpočet šířky trhlin v ose v místě rámového rohu

Ideální průřez	Ideální průřez s trhlinou	Zatížení
$A_{c,i} = 970909 \text{ mm}^2$	$x_{ir} = 300,8027 \text{ mm}$	$M_{y,ch.} = 350,00 \text{ kNm}$
$C_{g,i} = 404,7 \text{ mm}$	$x_{ir,[i+1]} = 300,8027 \text{ mm}$	$M_{y,kv.} = 270,00 \text{ kNm}$
$I_{y,i} = 51686082342 \text{ mm}^4$	$\Sigma S_{cg,y} = 0 \text{ mm}^3$	
$B_{l,it} = 606450 \text{ kNm}^2$	$I_{y,ir} = 79162602413 \text{ mm}^4$	

### Výpočet šířky trhlin

$h_{c,ef} = 175,0 \text{ mm}$	$\sigma_s = 32,17 \text{ MPa}$
$\rho_{p,ef} = 0,0280514$	$f_{ct,ef} = 3,5 \text{ MPa}$
$k_1 = 0,8$	$(\varepsilon_{sm} - \varepsilon_{cm}) = 9,651E-05$
$k_2 = 0,5$	$s_{r,max} = 348,7 \text{ mm}$
$k_3 = 3,4$	
$k_4 = 0,425$	
$k_t = 0,4$	
	$w_k = \textcolor{green}{0,03 \text{ mm}} < \textcolor{gray}{0,3 \text{ mm}}$

### Omezení napětí v ose v místě rámového rohu

#### Omezení vzniku podélných trhlin (char. kombinace)

$$\begin{aligned} N_{x,ch.} &= 948,27 \text{ kN} & k_1 &= 0,60 \\ M_{y,ch.} &= -784,02 \text{ kNm} \\ \sigma_{x,c,h} &= 19,42 \text{ MPa} \\ \sigma_{x,c,d} &= \textcolor{green}{-2,85 \text{ MPa}} > -k_1 \cdot f_{ck} = -24,00 \text{ MPa} \end{aligned}$$

$$\sigma_{x,c} \geq -k_1 \cdot f_{ck}$$

#### Ověření lineárního dotvarování (kvaz. kombinace)

$$\begin{aligned} N_{x,kv.} &= 713,59 \text{ kN} & k_2 &= 0,45 \\ M_{y,kv.} &= -317,45 \text{ kNm} \\ \sigma_{x,c,h} &= 9,03 \text{ MPa} \\ \sigma_{x,c,d} &= \textcolor{green}{0,01 \text{ MPa}} > -k_2 \cdot f_{ck} = -18,00 \text{ MPa} \end{aligned}$$

$$\sigma_{x,c} \geq -k_2 \cdot f_{ck}$$

#### Omezení nepružných přetvoření výztuže (char. kombinace)

$$\begin{aligned} N_{x,ch.} &= 948,27 \text{ kN} & k_3 &= 0,80 \\ M_{y,ch.} &= -784,02 \text{ kNm} \\ \sigma_{x,s,h} &= \textcolor{green}{98,5 \text{ MPa}} < k_3 \cdot f_{syk} = 400,0 \text{ MPa} \\ \sigma_{x,s,d} &= -4,4 \text{ MPa} \end{aligned}$$

$$\sigma_{x,s} \leq k_3 \cdot f_{syk}$$

## 7.2 Posouzení krajních stěn desky

### Výpočet šířky trhlin v ose v místě rámového rohu

Ideální průřez	Ideální průřez s trhlinou	Zatížení
$A_{c,i} = 926972 \text{ mm}^2$	$A_{c,ir} = 190631 \text{ mm}^2$	$M_{y,ch.} = -1311,69 \text{ kNm}$
$C_{g,i} = 631,3 \text{ mm}$	$x_{ir} = 317,8974 \text{ mm}$	$M_{y,kv.} = -554,43 \text{ kNm}$
$I_{y,i} = 79264438304 \text{ mm}^4$	$x_{ir,(i+1)} = 317,8974 \text{ mm}$	
$B_{l,lt} = 930036 \text{ kNm}^2$	$\Sigma S_{cg,y} = 0 \text{ mm}^3$	
	$I_{y,ir} = 38081139372 \text{ mm}^4$	

### Výpočet šířky trhlin

$h_{c,ef} = 175,0 \text{ mm}$	$\sigma_s = 58,91 \text{ MPa}$
$\rho_{p,ef} = 0,0170045$	$f_{ct,ef} = 3,5 \text{ MPa}$
$k_1 = 0,8$	$(\epsilon_{sm} - \epsilon_{cm}) = 0,0001767$
$k_2 = 0,5$	$s_{r,max} = 397,1 \text{ mm}$
$k_3 = 3,4$	
$k_4 = 0,425$	
$k_t = 0,4$	
	$w_k = \boxed{0,07 \text{ mm}} < \boxed{0,3 \text{ mm}}$

### Omezení napětí v ose v místě rámového rohu

#### Omezení vzniku podélných trhlin (char. kombinace)

$$\begin{aligned} N_{x,ch.} &= 1660,54 \text{ kN} & k_1 &= 0,60 \\ M_{y,ch.} &= -1311,69 \text{ kNm} \\ \sigma_{x,c,h} &= 35,65 \text{ MPa} \\ \sigma_{x,c,d} &= \boxed{-2,24 \text{ MPa}} > -k_1 \cdot f_{ck} = -24,00 \text{ MPa} \end{aligned}$$

$$\sigma_{x,c} \geq -k_1 \cdot f_{ck}$$

#### Ověření lineárního dotvarování (kvaz. kombinace)

$$\sigma_{x,c} \geq -k_2 \cdot f_{ck}$$

$$\begin{aligned} N_{x,kv.} &= 628,91 \text{ kN} & k_2 &= 0,45 \\ M_{y,kv.} &= -554,43 \text{ kNm} \\ \sigma_{x,c,h} &= 14,69 \text{ MPa} \\ \sigma_{x,c,d} &= \boxed{-1,33 \text{ MPa}} > -k_2 \cdot f_{ck} = -18,00 \text{ MPa} \end{aligned}$$

#### Omezení nepružných přetvoření výztuže (char. kombinace)

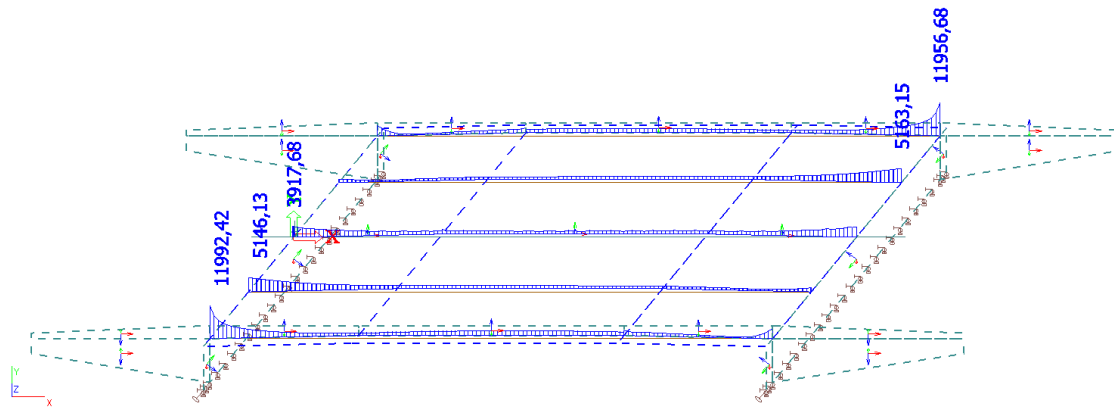
$$\sigma_{x,s} \leq k_3 \cdot f_{syk}$$

$$\begin{aligned} N_{x,ch.} &= 1660,54 \text{ kN} & k_3 &= 0,80 \\ M_{y,ch.} &= -1311,69 \text{ kNm} \\ \sigma_{x,s,h} &= \boxed{188,9 \text{ MPa}} < k_3 \cdot f_{syk} = 400,0 \text{ MPa} \\ \sigma_{x,s,d} &= 1,0 \text{ MPa} \end{aligned}$$

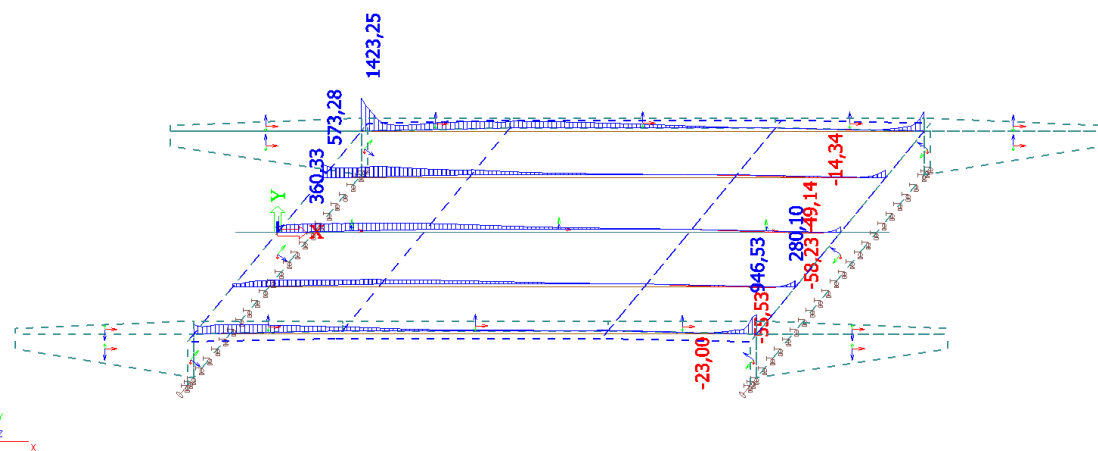
## 8 Zobrazení výsledků pro MSÚ (RC1)

### 8.1 Deska rámu

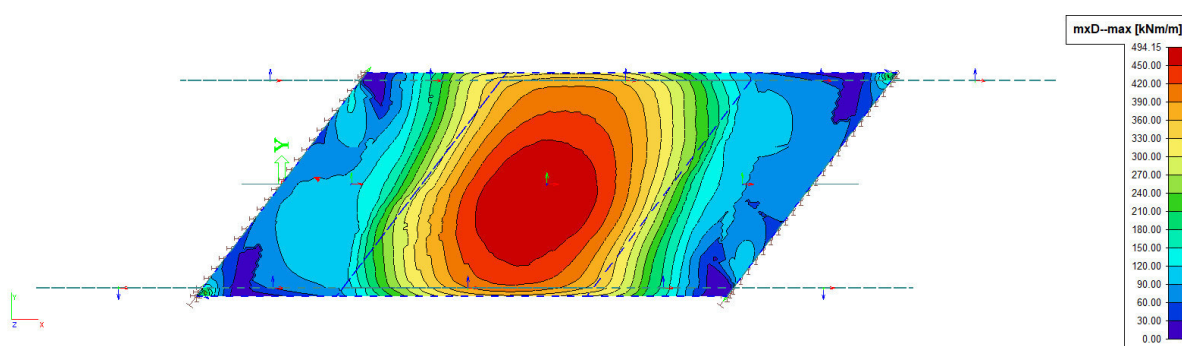
nxD



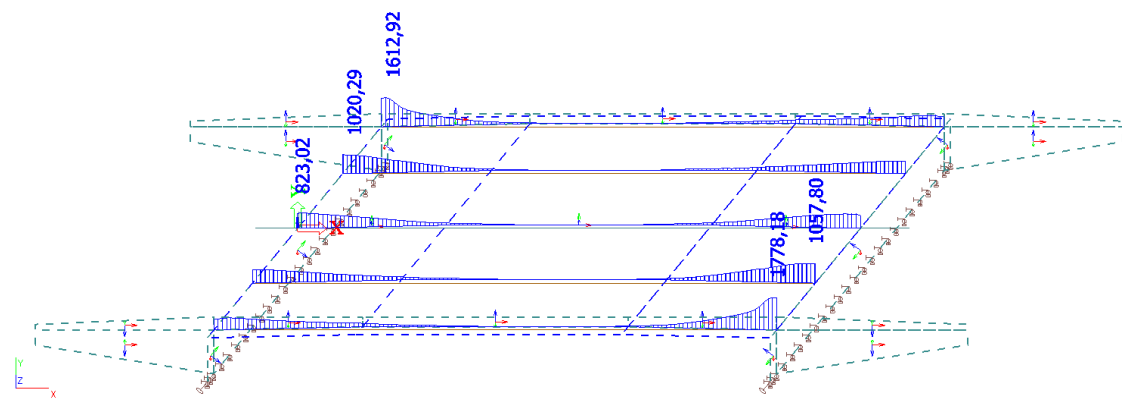
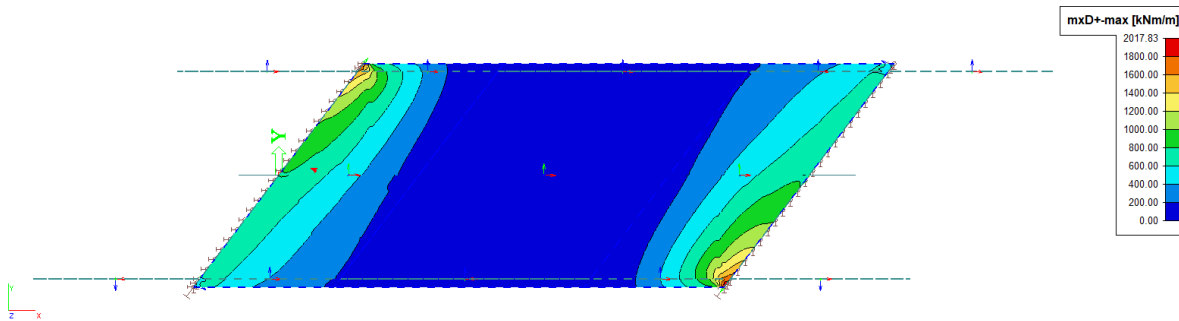
vX



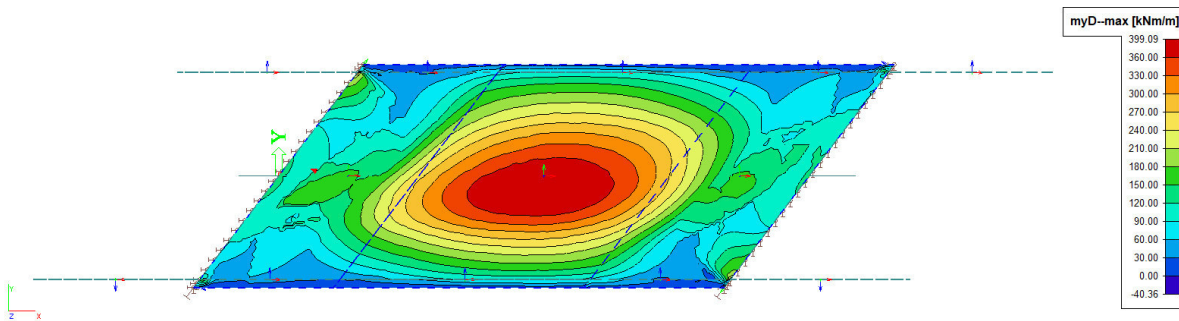
mxD-



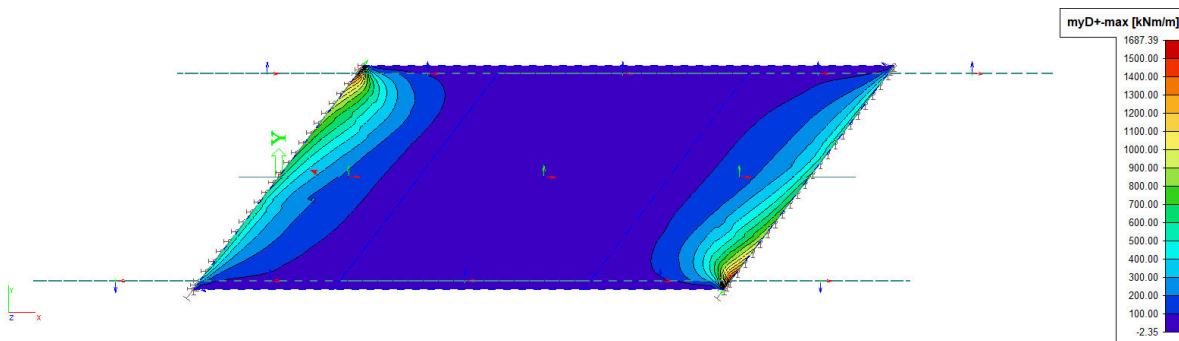
mxD+



myD-

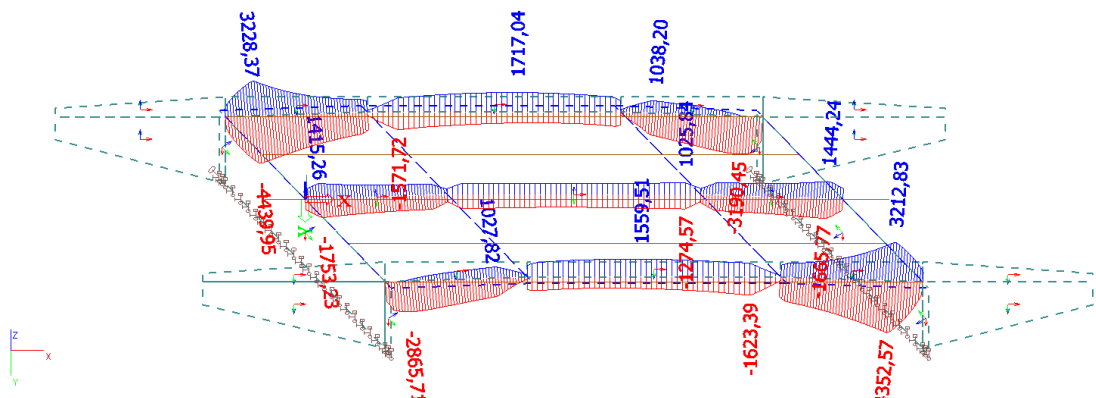


myD+

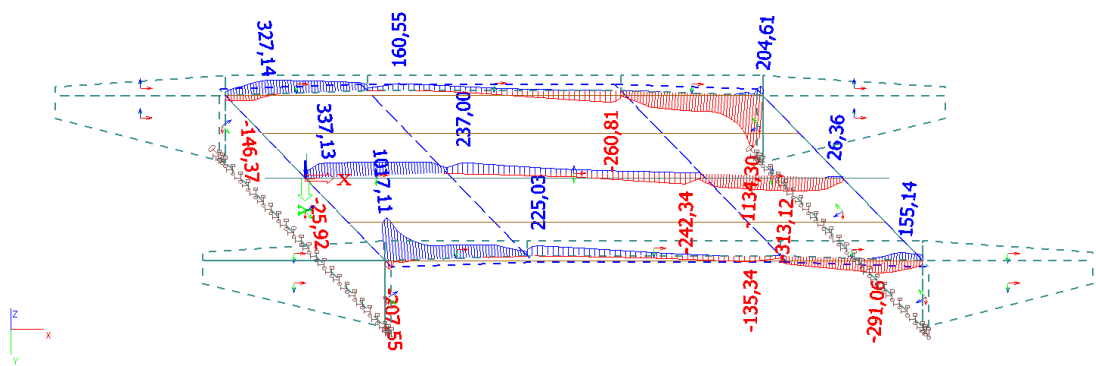


Vnitřní síly z integračních pásů

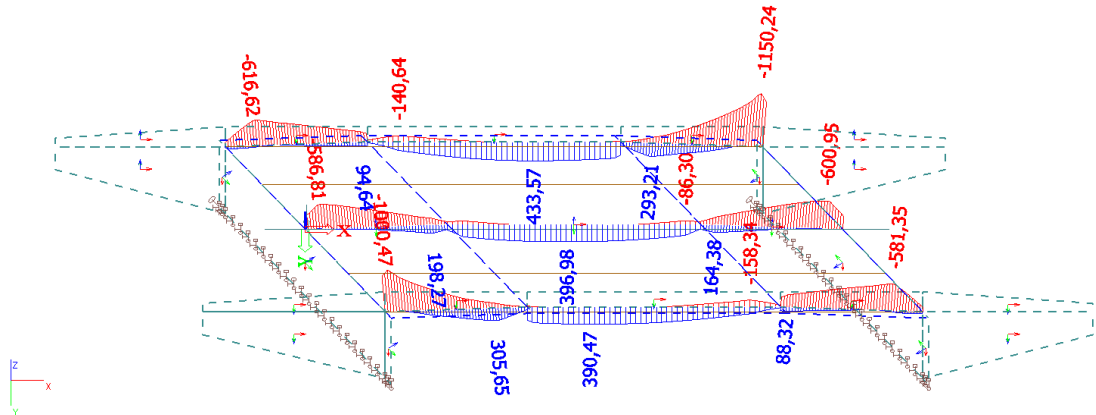
Nx



Vz

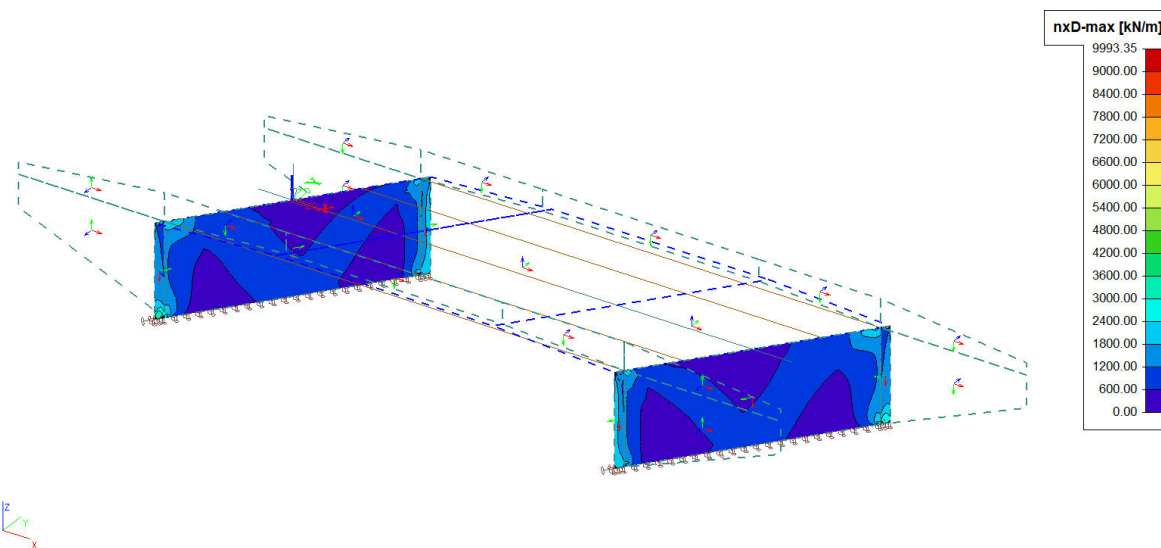


My

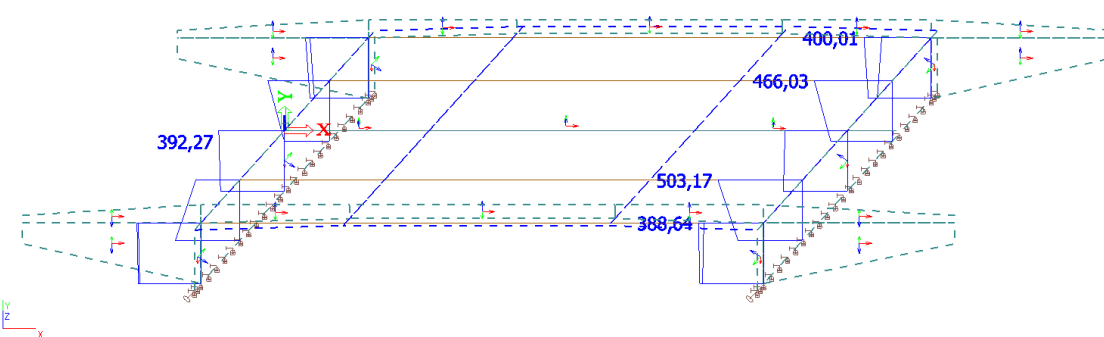
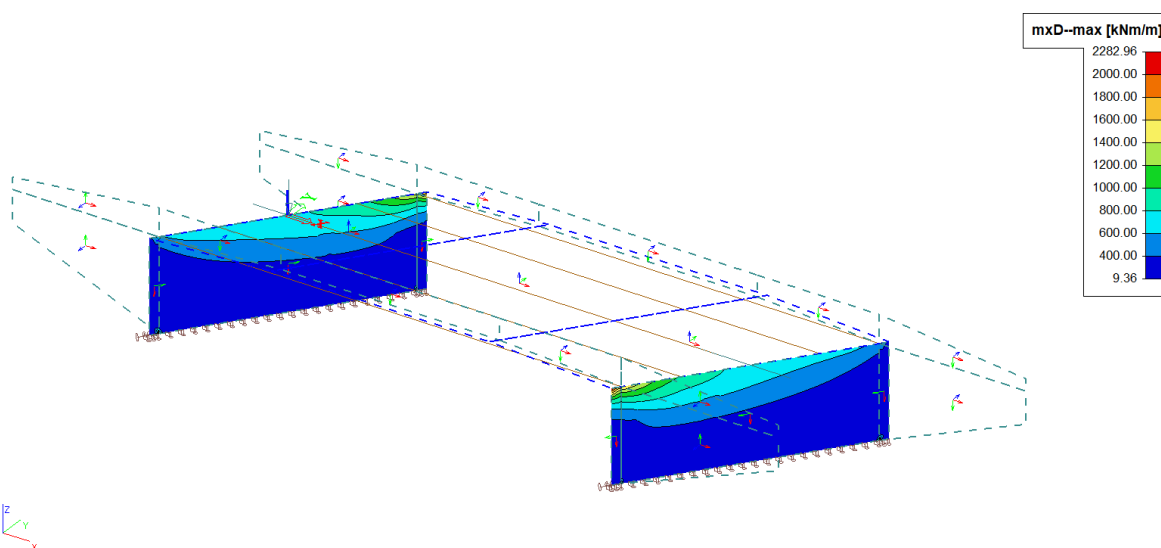


## 8.2 Stěny rámu

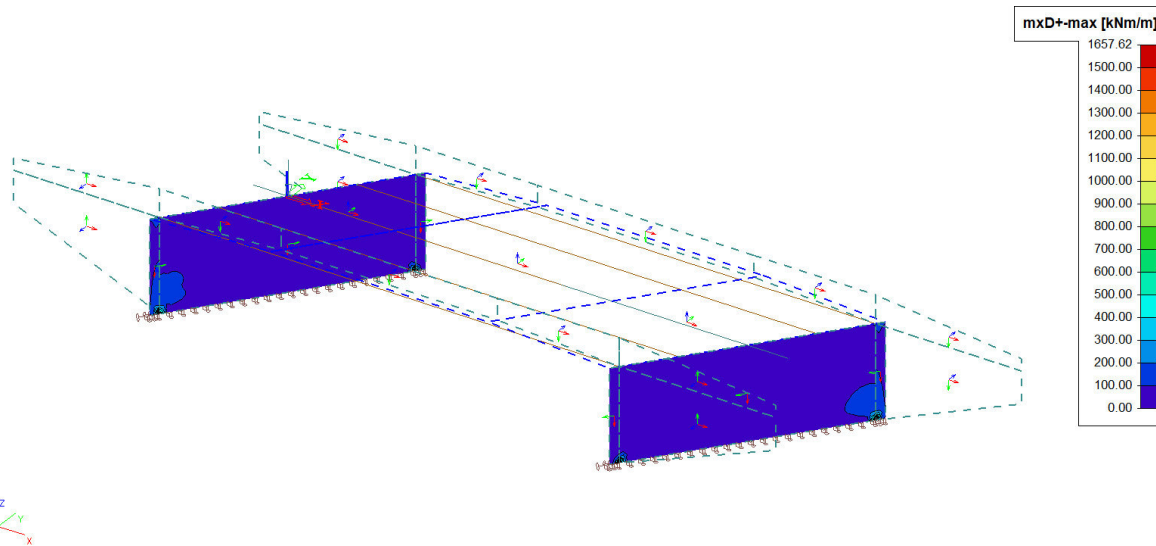
nxD



mxD-

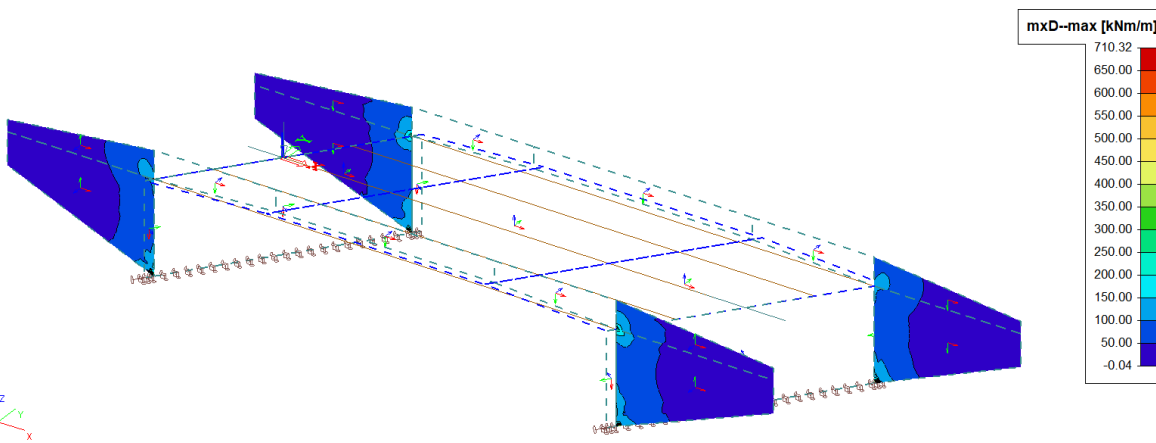


mxD+

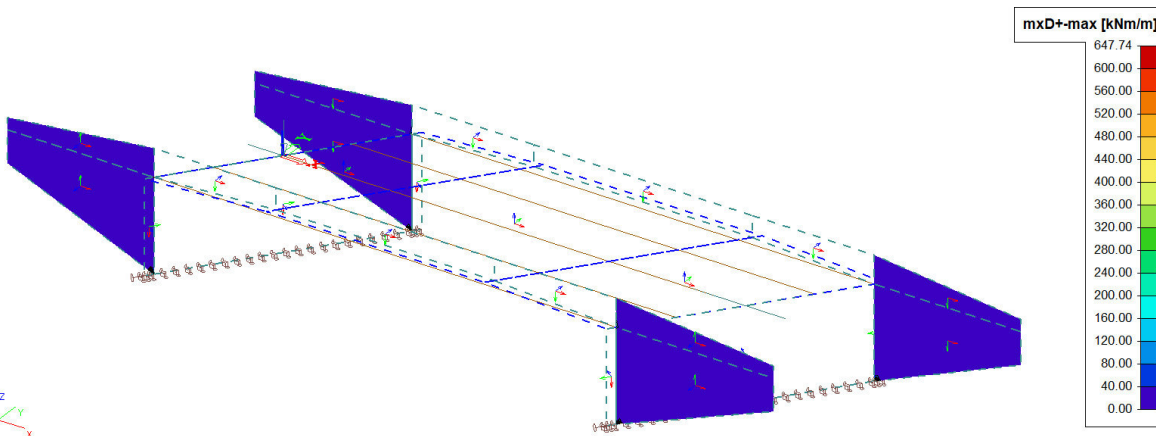


### 8.3 Křídla

mxD-



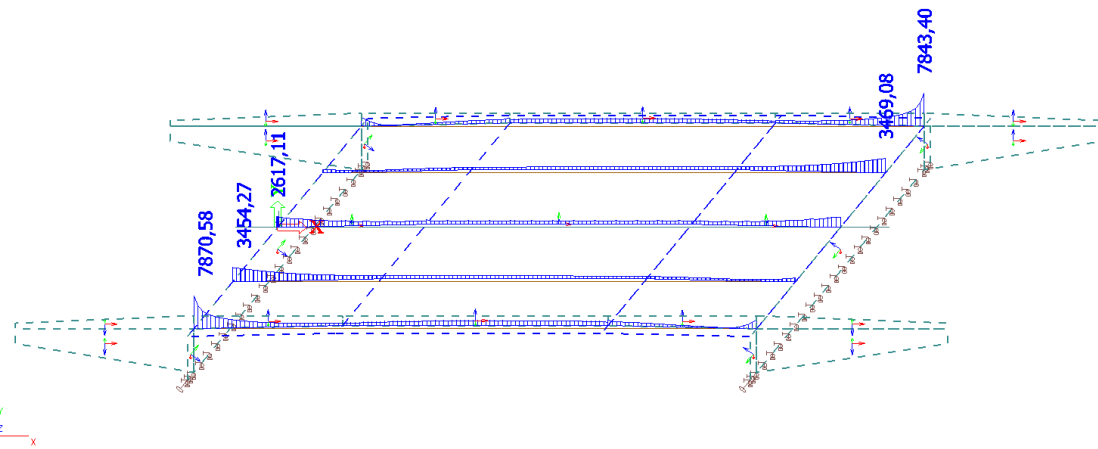
mxD+



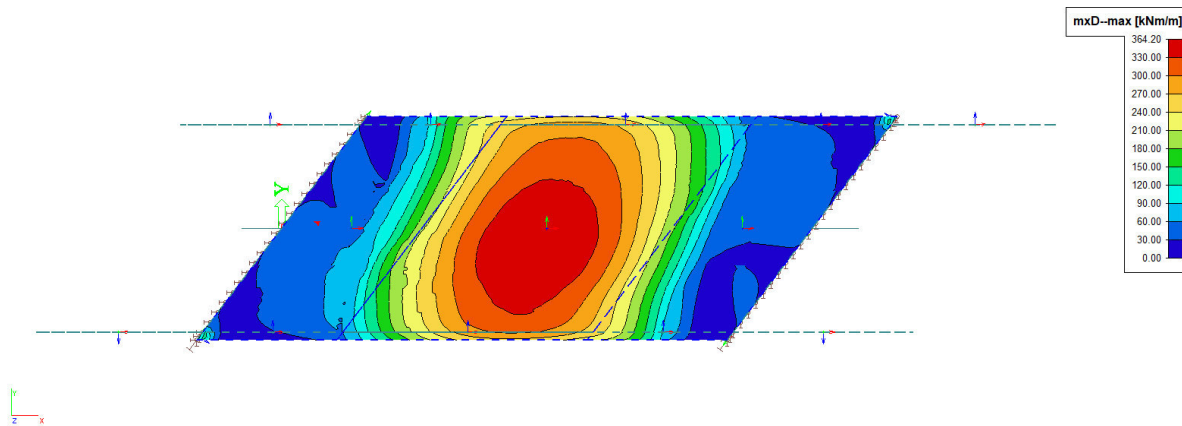
## 9 Zobrazení výsledků pro MSP

### 9.1 RC2 – charakteristická kombinace

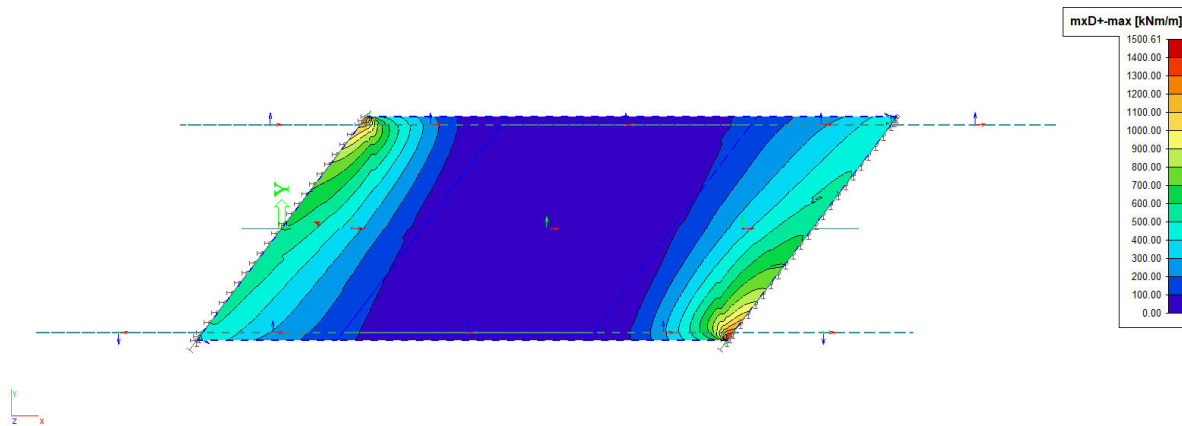
nxD

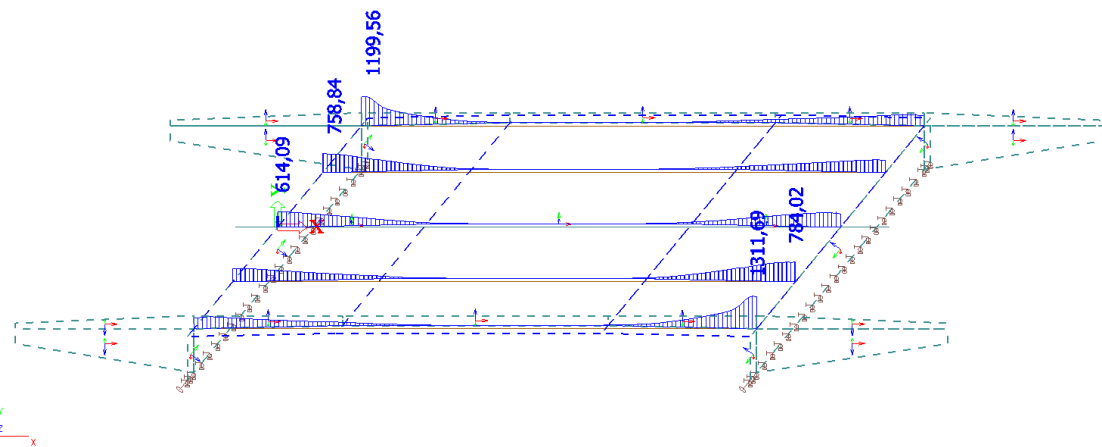


mxD-

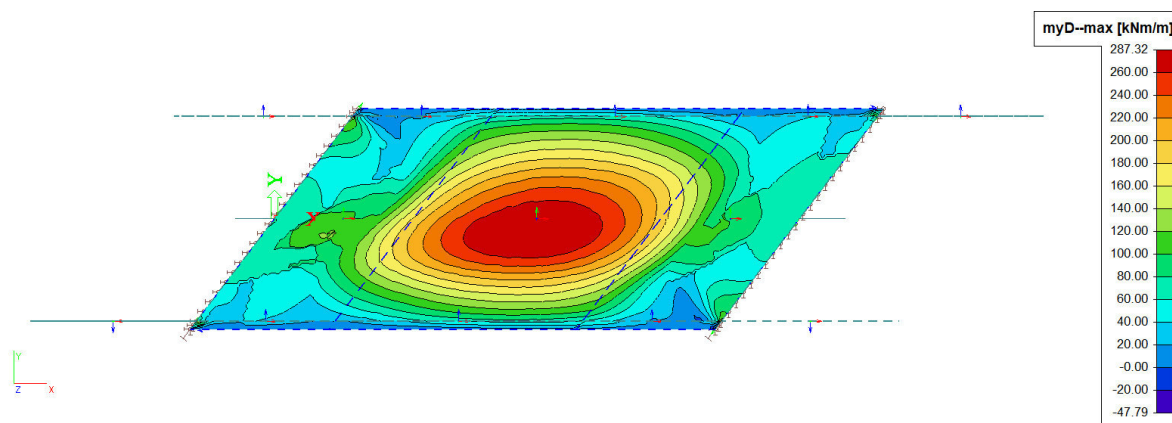


mxD+

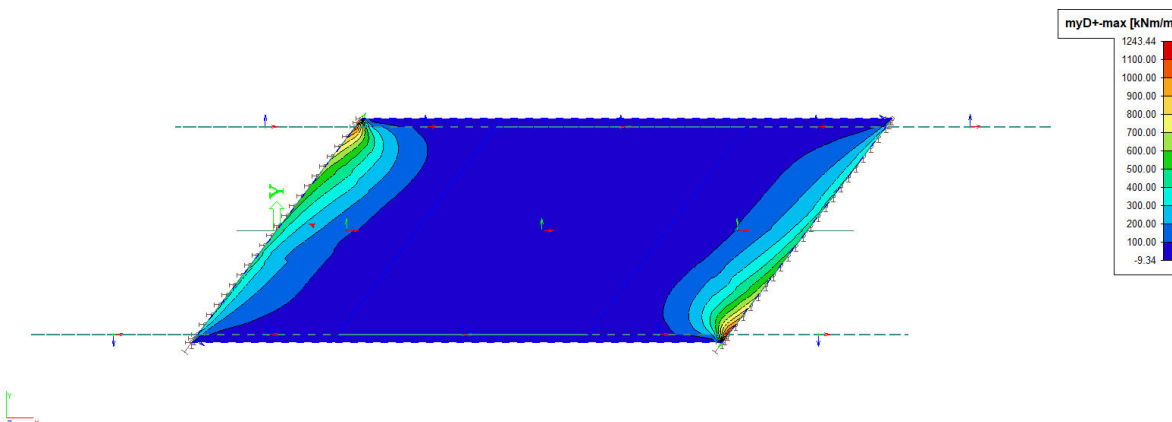




myD-

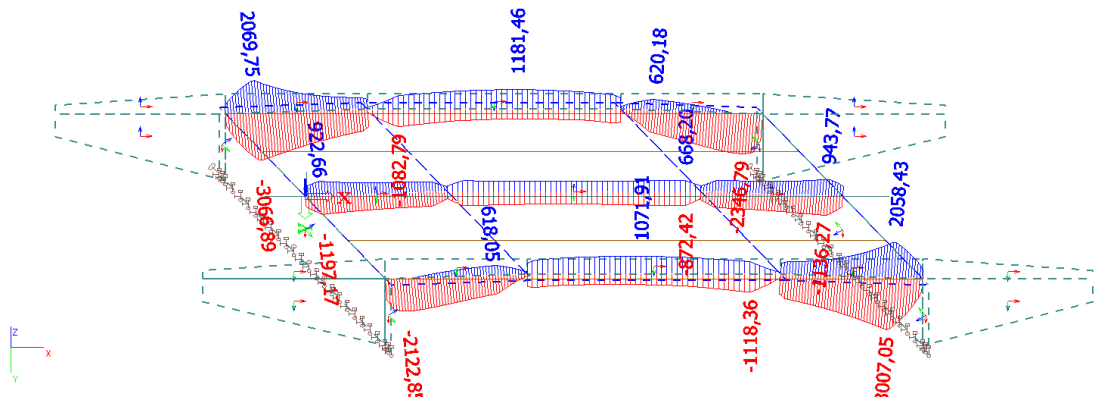


myD+

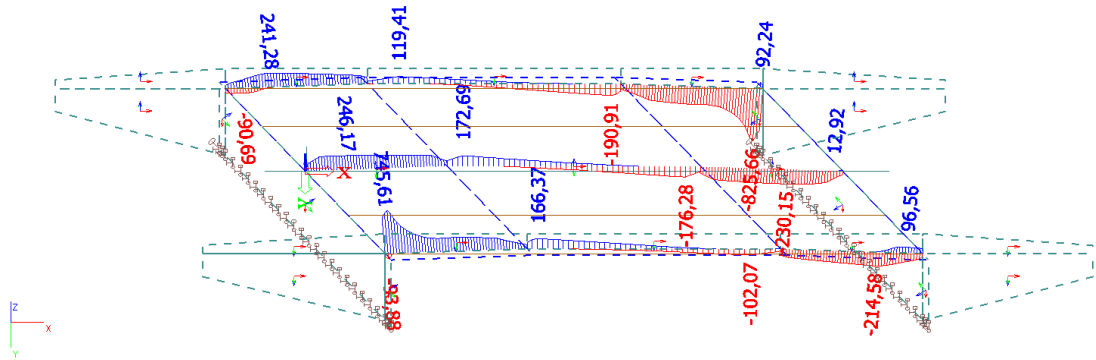


Vnitřní síly z integračních pásů

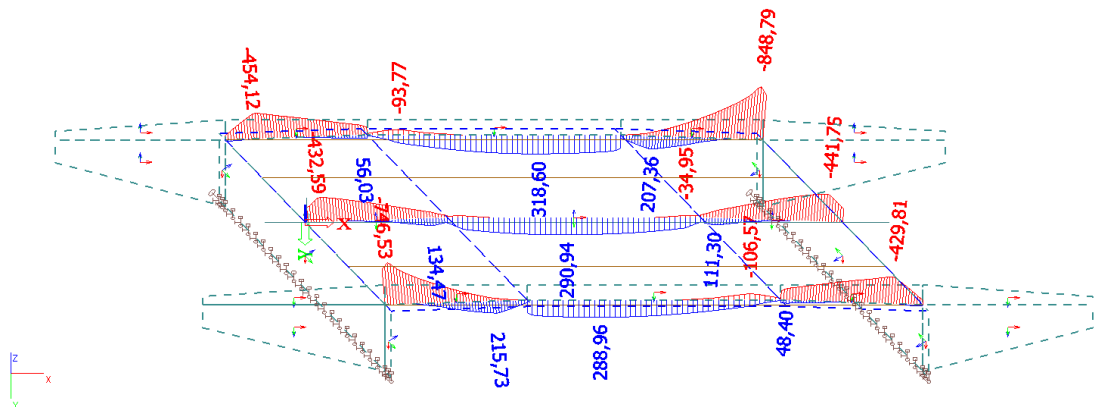
Nx



Vz

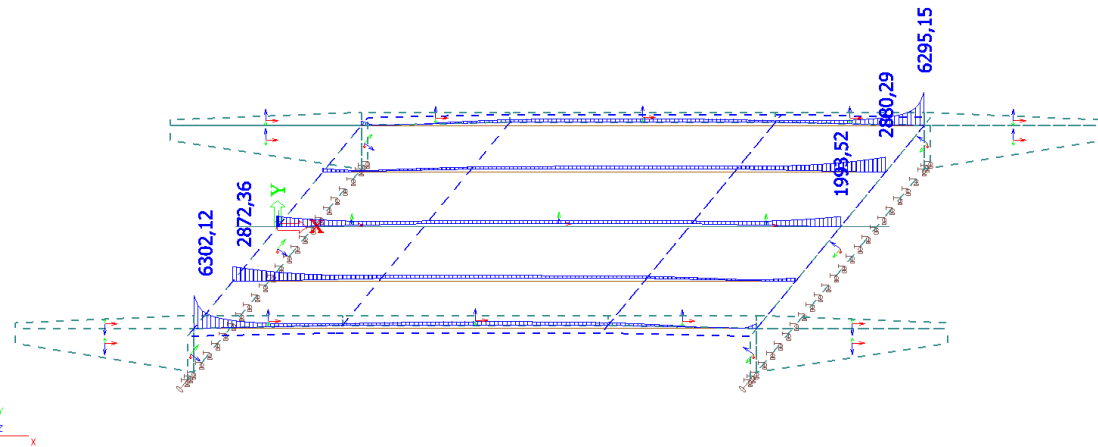


My

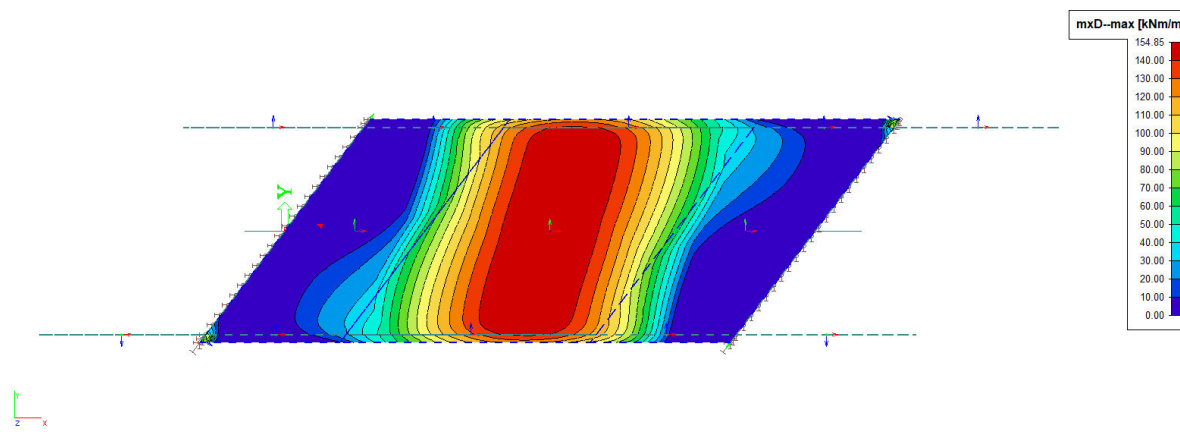


## 9.2 RC3 – kvazistálá kombinace

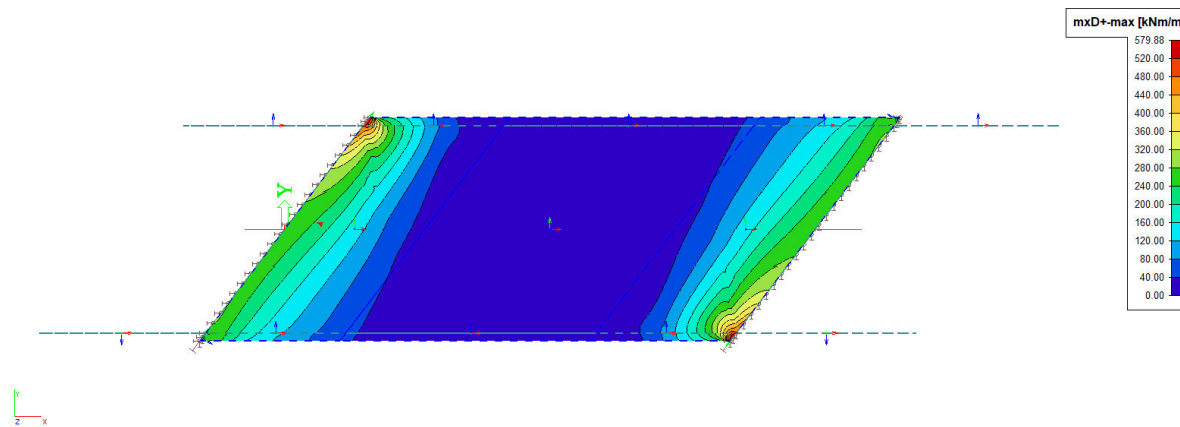
nxD

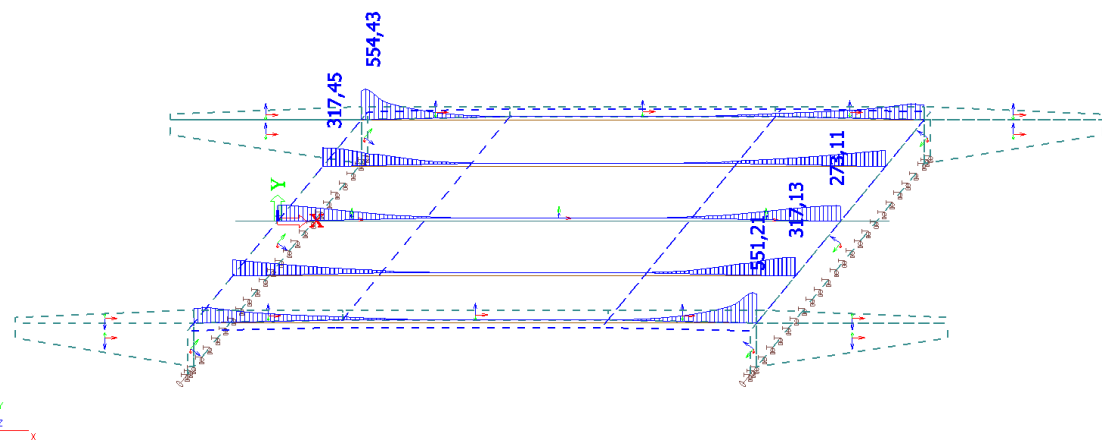


mxD-

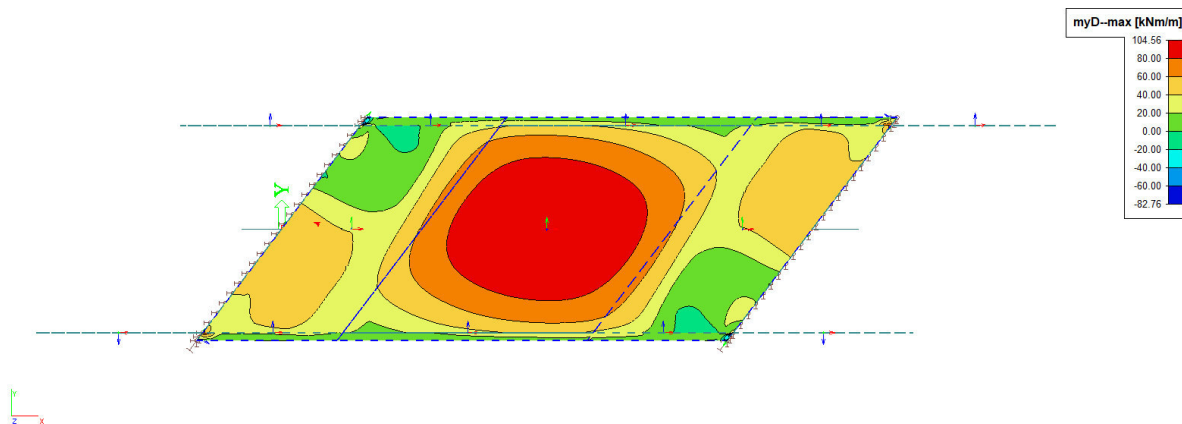


mxD+

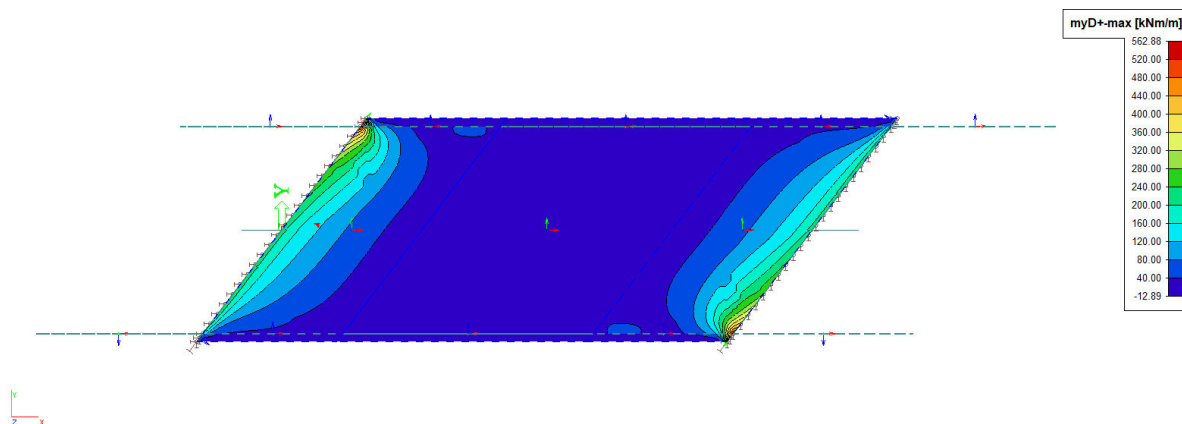




myD-

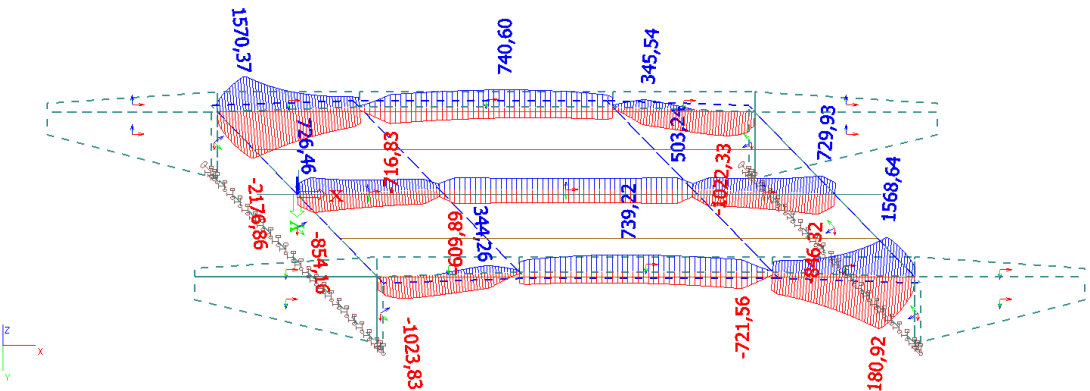


myD+

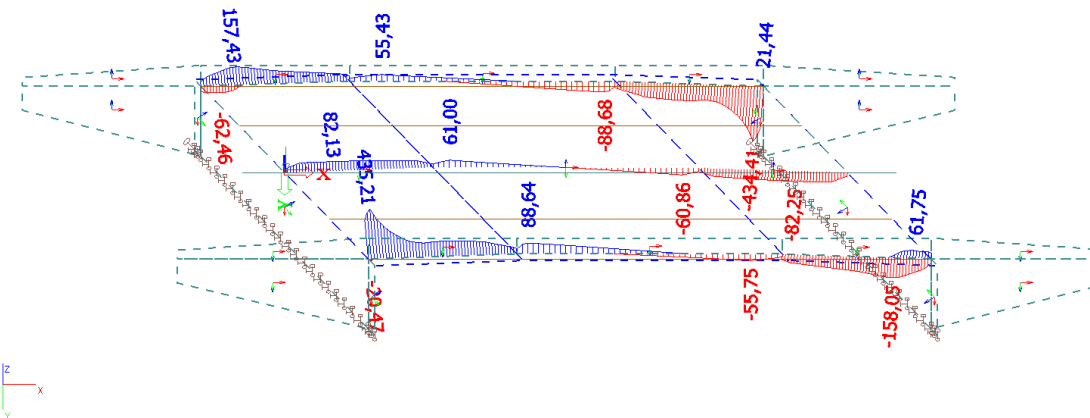


## Vnitřní síly z integračních pásů

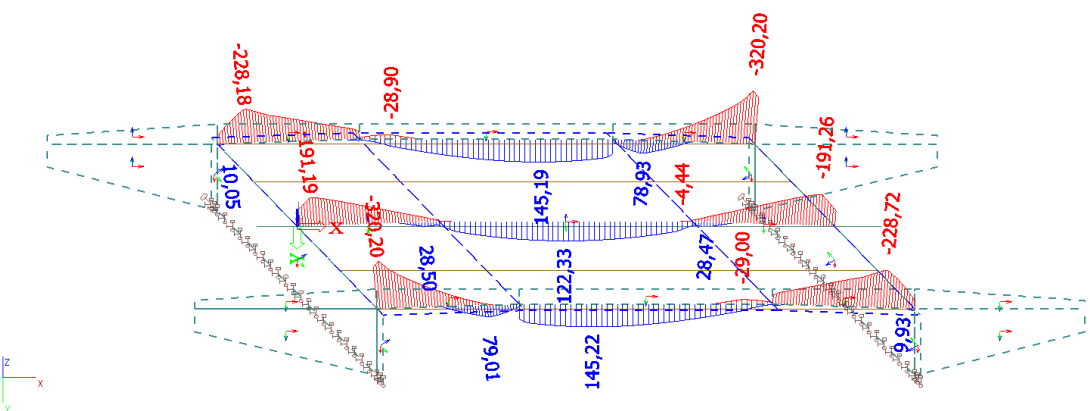
Nx



Vz



My



## 10 Výpočet pilot

### 10.1 Vstupní data

#### Nastavení

(zadané pro aktuální úlohu)

#### Materiály a normy

Betonové konstrukce:	EN 1992-1-1 (EC2)
Součinitele EN 1992-1-1:	standardní
Ocelové konstrukce:	EN 1993-1-1 (EC3)
Dílčí součinitel únosnosti ocelového průřezu:	$\gamma_{M0} = 1,00$
Dřevěné konstrukce:	EN 1995-1-1 (EC5)
Dílčí součinitel vlastností dřeva:	$\gamma_M = 1,30$
Součinitel vlivu zatížení a vlhkosti (dřevo):	$k_{mod} = 0,50$
Součinitel šířky průřezu ve smyku (dřevo):	$k_{cr} = 0,67$

#### Piloty

Výpočet pro odvodněné podmínky:	ČSN 73 1002
Zatěžovací křivka:	nelineární (Masopust)
Vodorovná únosnost:	pružný poloprostor
Metodika posouzení:	výpočet podle EN 1997
Návrhový přístup:	2 - redukce zatížení a odporu

Součinitele redukce zatížení (F)			
Trvalá návrhová situace			
		Nepříznivé	Příznivé
Stálé zatížení	$\gamma_G =$	1,35 [-]	1,00 [-]

Součinitele redukce odporu (R)			
Trvalá návrhová situace			
Součinitel redukce odporu na plášti	$\gamma_s =$	1,10	[-]
Součinitel redukce odporu na patě	$\gamma_b =$	1,10	[-]
Součinitel redukce únosnosti tažené piloty	$\gamma_{st} =$	1,15	[-]

**Základní parametry zemin**

Číslo	Název	Vzorek	$\varphi_{ef}$ [°]	$c_{ef}$ [kPa]	$\gamma$ [kN/m³]	$v$ [-]
1	GT 1.1 Třída F6, konzistence tuhá		19,00	12,00	21,00	0,40
2	GT 2.1 Třída F8, konzistence tuhá		15,00	5,00	20,50	0,42
3	GT 3.1 Třída S5, středně ulehlá		26,00	5,00	18,50	0,35
4	GT 3.2 Třída S3, středně ulehlá		31,00	0,00	17,50	0,30
5	GT 4.1 Třída G5, ulehlá		30,00	6,00	19,50	0,30
6	GT 4.2 Třída G3, středně ulehlá		36,00	0,00	19,00	0,25

Pro výpočet tlaku v klidu jsou všechny zeminy zadány jako nesoudržné.

Číslo	Název	Vzorek	$E_{oed}$ [MPa]	$E_{def}$ [MPa]	$\gamma_{sat}$ [kN/m³]	$\gamma_s$ [kN/m³]	n [-]
1	GT 1.1 Třída F6, konzistence tuhá		-	3,00	22,00	-	-
2	GT 2.1 Třída F8, konzistence tuhá		-	3,00	20,50	-	-
3	GT 3.1 Třída S5, středně ulehlá		-	6,00	19,00	-	-
4	GT 3.2 Třída S3, středně ulehlá		-	17,00	18,00	-	-
5	GT 4.1 Třída G5, ulehlá		-	50,00	19,50	-	-
6	GT 4.2 Třída G3, středně ulehlá		-	90,00	19,50	-	-

**Parametry zemin**

**GT 1.1 Třída F6, konzistence tuhá**

Objemová tíha:  $\gamma = 21,00 \text{ kN/m}^3$

Úhel vnitřního tření:  $\varphi_{ef} = 19,00^\circ$

Soudržnost zeminy:	$c_{ef}$	=	12,00 kPa
Poissonovo číslo:	$\nu$	=	0,40
Modul přetvárnosti:	$E_{def}$	=	3,00 MPa
Obj.tíha sat.zeminy:	$\gamma_{sat}$	=	22,00 kN/m <sup>3</sup>

#### GT 2.1 Třída F8, konzistence tuhá

Objemová tíha:	$\gamma$	=	20,50 kN/m <sup>3</sup>
Úhel vnitřního tření:	$\varphi_{ef}$	=	15,00 °
Soudržnost zeminy:	$c_{ef}$	=	5,00 kPa
Poissonovo číslo:	$\nu$	=	0,42
Modul přetvárnosti:	$E_{def}$	=	3,00 MPa
Obj.tíha sat.zeminy:	$\gamma_{sat}$	=	20,50 kN/m <sup>3</sup>

#### GT 3.1 Třída S5, středně ulehlá

Objemová tíha:	$\gamma$	=	18,50 kN/m <sup>3</sup>
Úhel vnitřního tření:	$\varphi_{ef}$	=	26,00 °
Soudržnost zeminy:	$c_{ef}$	=	5,00 kPa
Poissonovo číslo:	$\nu$	=	0,35
Modul přetvárnosti:	$E_{def}$	=	6,00 MPa
Obj.tíha sat.zeminy:	$\gamma_{sat}$	=	19,00 kN/m <sup>3</sup>

#### GT 3.2 Třída S3, středně ulehlá

Objemová tíha:	$\gamma$	=	17,50 kN/m <sup>3</sup>
Úhel vnitřního tření:	$\varphi_{ef}$	=	31,00 °
Soudržnost zeminy:	$c_{ef}$	=	0,00 kPa
Poissonovo číslo:	$\nu$	=	0,30
Modul přetvárnosti:	$E_{def}$	=	17,00 MPa
Obj.tíha sat.zeminy:	$\gamma_{sat}$	=	18,00 kN/m <sup>3</sup>

#### GT 4.1 Třída G5, ulehlá

Objemová tíha:	$\gamma$	=	19,50 kN/m <sup>3</sup>
Úhel vnitřního tření:	$\varphi_{ef}$	=	30,00 °
Soudržnost zeminy:	$c_{ef}$	=	6,00 kPa
Poissonovo číslo:	$\nu$	=	0,30
Modul přetvárnosti:	$E_{def}$	=	50,00 MPa
Obj.tíha sat.zeminy:	$\gamma_{sat}$	=	19,50 kN/m <sup>3</sup>

### GT 4.2 Třída G3, středně ulehlá

Objemová tíha:  $\gamma = 19,00 \text{ kN/m}^3$

Úhel vnitřního tření:  $\varphi_{\text{ef}} = 36,00^\circ$

Soudržnost zeminy:  $c_{\text{ef}} = 0,00 \text{ kPa}$

Poissonovo číslo:  $\nu = 0,25$

Modul přetvárnosti:  $E_{\text{def}} = 90,00 \text{ MPa}$

Obj.tíha sat.zeminy:  $\gamma_{\text{sat}} = 19,50 \text{ kN/m}^3$

### Geometrie

Profil piloty: kruhová

### Rozměry

Průměr  $d = 0,75 \text{ m}$

Délka  $l = 9,00 \text{ m}$

### Spočtené průřezové charakteristiky

Plocha  $A = 4,42E-01 \text{ m}^2$

Moment setrvačnosti  $I = 1,55E-02 \text{ m}^4$

### Umístění

Vysazení  $h = 0,00 \text{ m}$

Hloubka upraveného terénu  $h_z = 2,32 \text{ m}$

Typ technologie: Vrtané piloty

### Horizontální modul reakce podloží

Hloubka [m]	$k_h$ [MN/m <sup>3</sup> ]
0.00	20.40
0.45	2.67
3.60	2.67
4.05	5.33
4.95	5.33
5.40	44.44
8.10	44.44
8.55	51.30
9.00	54.00

### Materiál konstrukce

Objemová tíha  $\gamma = 25,00 \text{ kN/m}^3$

Výpočet betonových konstrukcí proveden podle normy EN 1992-1-1 (EC2).

**Beton: C 30/37**

Válcová pevnost v tlaku  $f_{ck}$  = 30,00 MPa

Pevnost v tahu  $f_{ctm}$  = 2,90 MPa

Modul pružnosti  $E_{cm}$  = 33000,00 MPa

Modul pružnosti ve smyku  $G$  = 13750,00 MPa

**Ocel podélná: B500**

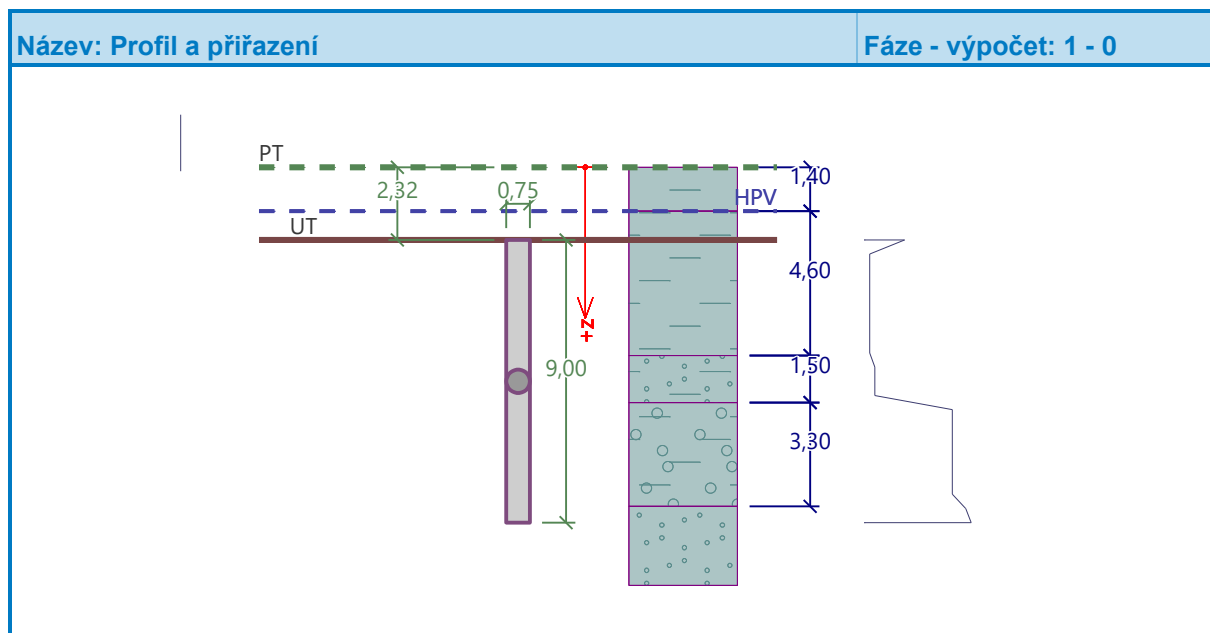
Mez kluzu  $f_{yk}$  = 500,00 MPa

**Ocel příčná: B500**

Mez kluzu  $f_{yk}$  = 500,00 MPa

**Geologický profil a přiřazení zemin**

Číslo	Mocnost vrstvy $t$ [m]	Hloubka $z$ [m]	Přiřazená zemina	Vzorek
1	1,40	0,00 .. 1,40	GT 1.1 Třída F6, konzistence tuhá	
2	4,60	1,40 .. 6,00	GT 2.1 Třída F8, konzistence tuhá	
3	1,50	6,00 .. 7,50	GT 3.1 Třída S5, středně ulehlá	
4	3,30	7,50 .. 10,80	GT 4.1 Třída G5, ulehlá	
5	-	10,80 .. ∞	GT 3.2 Třída S3, středně ulehlá	



#### Zatížení

Číslo	Zatížení		Název	Typ	N [kN]	M <sub>x</sub> [kNm]	M <sub>y</sub> [kNm]	H <sub>x</sub> [kN]	H <sub>y</sub> [kN]
	nové	změna							
1	Ano		Rx max OP1	Návrhové	776,48	0,00	14,72	-658,33	29,77
2	Ano		Rx min OP1	Návrhové	342,38	0,00	-219,24	109,78	10,76
3	Ano		Ry max OP1	Návrhové	392,20	0,00	196,14	-299,95	88,32
4	Ano		Ry min OP1	Návrhové	728,59	0,00	-359,49	-267,05	-29,17
5	Ano		Rz max OP1	Návrhové	831,45	0,00	-236,13	-311,82	5,08
6	Ano		Rz min OP1	Návrhové	342,38	0,00	91,47	-201,71	47,33
7	Ano		My max OP1	Návrhové	409,83	0,00	206,39	-346,41	88,18
8	Ano		My min OP1	Návrhové	693,56	0,00	-379,85	-174,78	-28,89
9	Ano		Rz max kvaz. OP1	Užitné	459,50	0,00	0,00	-31,24	14,49
10	Ano		Rx max OP2	Návrhové	349,76	0,00	231,86	-109,67	6,73
11	Ano		Rx min OP2	Návrhové	778,48	0,00	104,17	658,22	5,03
12	Ano		Ry max OP2	Návrhové	761,20	0,00	500,99	243,21	72,66
13	Ano		Ry min OP2	Návrhové	443,94	0,00	-130,97	319,71	-52,18
14	Ano		Rz max OP2	Návrhové	841,44	0,00	128,06	612,14	11,92
15	Ano		Rz min OP2	Návrhové	344,82	0,00	198,83	-103,91	-10,31
16	Ano		My max OP2	Návrhové	756,43	0,00	518,28	205,00	69,03
17	Ano		My min OP2	Návrhové	426,73	0,00	-151,14	371,79	-45,99

Číslo	Zatížení		Název	Typ	N [kN]	M <sub>x</sub> [kNm]	M <sub>y</sub> [kNm]	H <sub>x</sub> [kN]	H <sub>y</sub> [kN]
	nové	změna							
18	Ano		Rz max kvaz OP2	Užitné	406,30	0,00	0,00	204,28	-34,81

#### Hladina podzemní vody

Hladina podzemní vody je v hloubce 1,40 m od původního terénu.

#### Celkové nastavení výpočtu

Výpočet svislé únosnosti: analytické řešení

Typ výpočtu: výpočet pro odvodněné podmínky

#### Nastavení výpočtu fáze

Návrhová situace: trvalá

Metodika posouzení: bez redukce vstupních dat

## 10.2 Výpočet svislé únosnosti

#### Posouzení svislé únosnosti piloty podle teorie MS - mezivýsledky

Výpočet únosnosti v patě:

$$\text{Součinitel únosnosti } N_c = 32,67$$

$$\text{Součinitel únosnosti } N_d = 20,63$$

$$\text{Součinitel únosnosti } N_b = 17,69$$

$$\text{Součinitel únosnosti } K_1 = 1,00$$

$$\text{Výpočtová únosnost na patě piloty } R_{bd} = 2776,78 \text{ kPa}$$

$$\text{Plocha příčného řezu piloty } A_p = 4,42E-01 \text{ m}^2$$

Únosnost na pláště piloty:

$$\text{Zkrácení účinné délky piloty } L_p = 1,41 \text{ m}$$

Hloubka [m]	Mocnost [m]	$\Phi_d$ [°]	$c_{ud}$ [kPa]	$\gamma$ [kN/m <sup>3</sup> ]	$\gamma_{R2}$ [-]	$f_s$ [kPa]	$R_{si}$ [kN]
3,68	3,68	15,00	5,00	10,50	1,00	8,41	66,27
5,18	1,50	26,00	5,00	9,00	1,00	19,17	61,58
7,59	2,41	30,00	6,00	9,50	1,00	29,14	150,42

#### Posouzení svislé únosnosti piloty podle teorie MS - výsledky

Výpočet proveden s automatickým výběrem nejnepříznivějších zatěžovacích stavů.

Posouzení tlačené piloty:

Nejnepříznivější zatěžovací stav číslo 14. (Rz max OP2)

$$\text{Únosnost piloty na pláště } R_s = 278,27 \text{ kN}$$

$$\text{Únosnost piloty v patě } R_b = 1115,22 \text{ kN}$$

Únosnost piloty  $R_c = 1393,49 \text{ kN}$

Extrémní svislá síla  $V_d = 921,96 \text{ kN}$

$$R_c = 1393,49 \text{ kN} > 921,96 \text{ kN} = V_d$$

**Svislá únosnost piloty VYHOVUJE**

### 10.3 Výpočet zatěžovací křivka

#### Výpočet zatěžovací křivky piloty - vstupní data

Vrstv a číslo	Počátek [m]	Konec [m]	Mocnost [m]	$E_s$ [MPa]	Součinitel a	Součinitel b
1	0,00	3,68	3,68	15,00	46,00	20,00
2	3,68	5,18	1,50	52,00	46,00	20,00
3	5,18	8,48	3,30	140,00	97,00	108,00
4	8,48	9,00	0,52	80,00	62,00	16,00

Uvažovat zatížení: užitné

Součinitel vlivu ochrany dříku  $m_2 = 1,00$

Limitní sedání piloty  $s_{lim} = 25,0 \text{ mm}$

Regresní součinitel e = 268,00

Regresní součinitel f = 175,00

#### Výpočet zatěžovací křivky piloty - mezivýsledky

Mezní síla na pláště piloty  $R_{sy} = 850,55 \text{ kN}$

Velikost napětí na patě při  $R_{sy}$   $q_0 = 253,42 \text{ kPa}$

Průměrné plášťové tření  $q_s = 57,30 \text{ kPa}$

Průměrný sečnový modul deformace  $E_s = 70,76 \text{ MPa}$

Součinitel přenosu zatížení do paty  $\beta = 0,08$

Příčinkové součinitele sedání:

Základní - závislý na poměru l/d  $I_0 = 0,13$

Součinitel vlivu tuhosti piloty  $R_k = 1,19$

Součinitel vlivu nestlačitelné vrstvy  $R_h = 1,00$

### Body zatěžovací křivky

Sednutí [mm]	Zatížení [kN]
0,0	0,00
2,5	892,05
5,0	995,09
7,5	1067,37
10,0	1139,64
12,5	1211,91
15,0	1284,18
17,5	1356,46
20,0	1428,73
22,5	1501,00
25,0	1573,27

### Výpočet zatěžovací křivky piloty - výsledky

Zatížení na mezi mobilizace plášť. tření  $R_{yu} = 928,92 \text{ kN}$

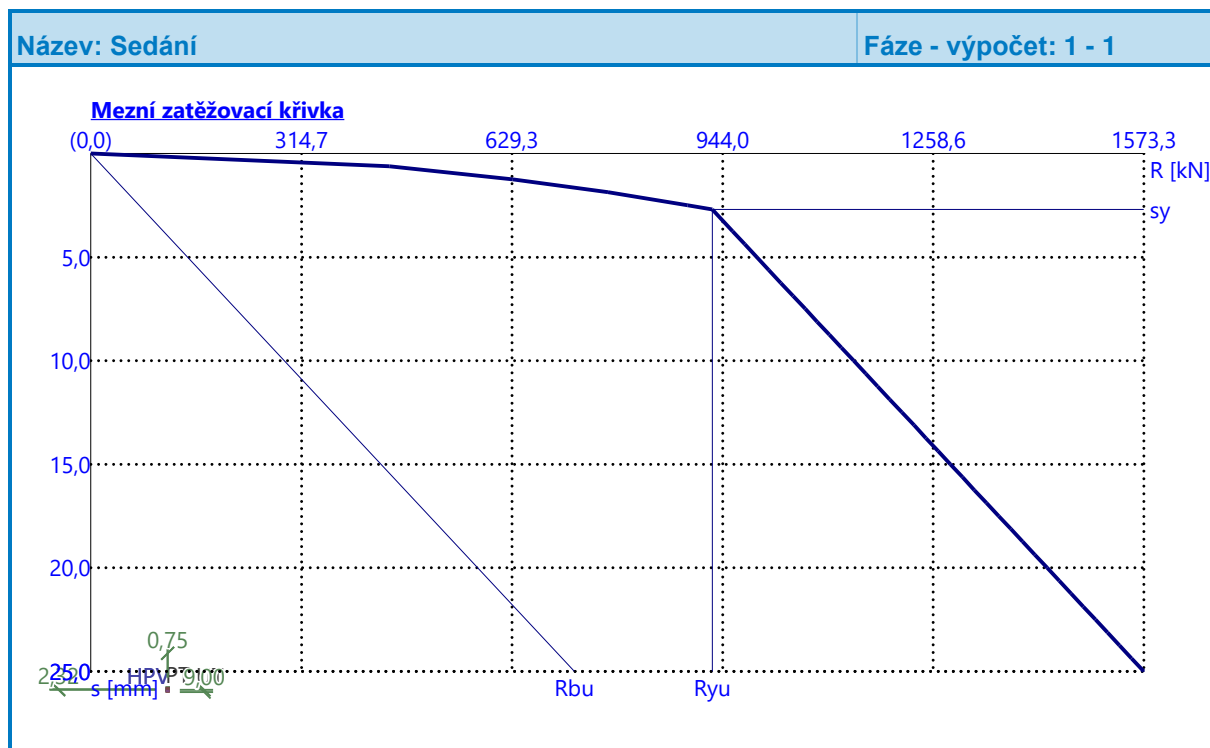
Velikost sedání odpovídající síle  $R_{yu}$   $s_y = 2,7 \text{ mm}$

Únosnosti odpovídající sednutí 25,0 mm:

Únosnost paty  $R_{bu} = 722,72 \text{ kN}$

Celková únosnost  $R_c = 1573,27 \text{ kN}$

Pro zatížení  $Q = 459,50 \text{ kN}$  je sednutí piloty 0,7 mm



## 10.4 Výpočet vodorovné únosnosti

### 10.4.1 Úsek 0,0 – 1,5 m

#### Vstupní data pro výpočet vodorovné únosnosti piloty

Výpočet proveden s automatickým výběrem nejpříznivějších zatěžovacích stavů.

Vodorovná únosnost posouzena ve směru maximálního účinku zatížení.

#### Maximální vnitřní síly a deformace:

Max. deformace piloty = 74,7 mm

Max. posouvající síla = 659,00 kN

Maximální moment = 558,80 kNm

#### Posouzení na tlak a ohyb

Vyztužení - 8 ks profil 25,0 mm; krytí 80,0 mm

Typ konstrukce (stupně vyztužení): pilota

Stupeň vyztužení  $\rho = 0,889\% > 0,500\% = \rho_{min}$

Zatížení:  $N_{Ed} = -776,48$  kN (tlak);  $M_{Ed} = 558,80$  kNm

Únosnost:  $N_{Rd} = -912,85$  kN;  $M_{Rd} = 656,93$  kNm

#### Navržená výzvuž piloty VYHOVUJE

#### Posouzení na smyk

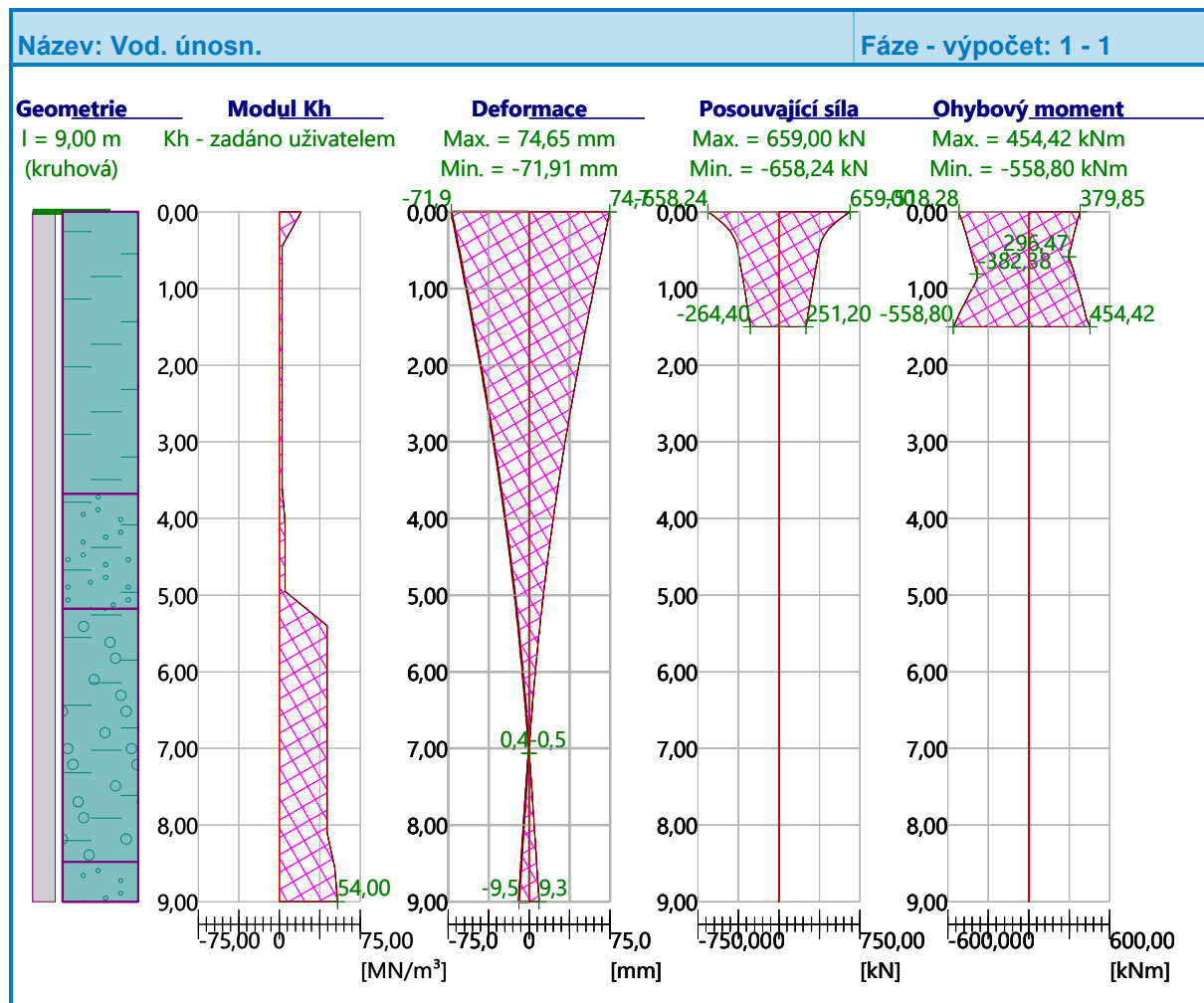
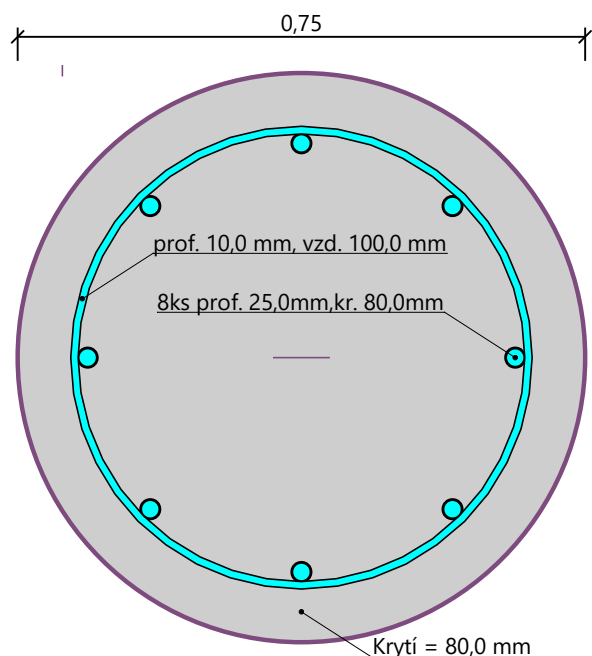
Smyková výzvuž - 2 ks profil 10,0 mm; vzdálenost 100,0 mm

$A_{sw} = 1570,8$  mm<sup>2</sup>

Posouvající síla na mezi únosnosti:  $V_{Rd} = 921,99$  kN >  $659,00$  kN =  $V_{Ed}$

**Průřez VYHOVUJE**

**Schéma využitých profilů**



## 10.4.2 Úsek 1,5 – 6,0 m

### Vstupní data pro výpočet vodorovné únosnosti piloty

Výpočet proveden s automatickým výběrem nejnepříznivějších zatěžovacích stavů.

Vodorovná únosnost posouzena ve směru maximálního účinku zatížení.

#### Maximální vnitřní síly a deformace:

Max. deformace piloty = 74,7 mm

Max. posouvající síla = 264,40 kN

Maximální moment = 944,61 kNm

#### Posouzení na tlak a ohyb

Vyztužení - 16 ks profil 25,0 mm; krytí 80,0 mm

Typ konstrukce (stupně vyztužení): pilota

Stupeň vyztužení  $\rho = 1,778\% > 0,500\% = \rho_{min}$

Zatížení:  $N_{Ed} = -776,48$  kN (tlak);  $M_{Ed} = 944,61$  kNm

Únosnost:  $N_{Rd} = -794,21$  kN;  $M_{Rd} = 966,18$  kNm

#### Navržená výzvuž piloty VYHOVUJE

#### Posouzení na smyk

Smyková výzvuž - 2 ks profil 10,0 mm; vzdálenost 300,0 mm

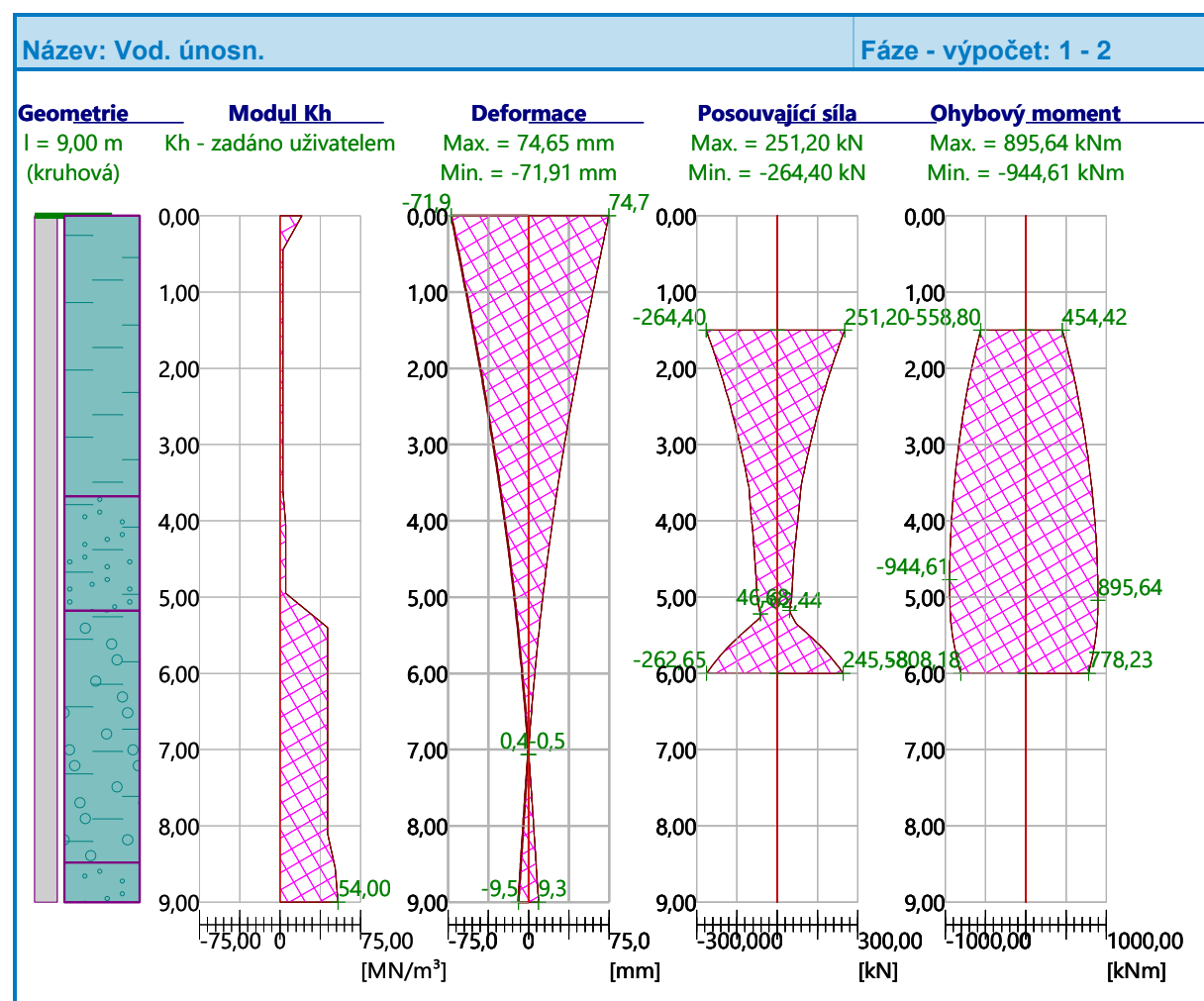
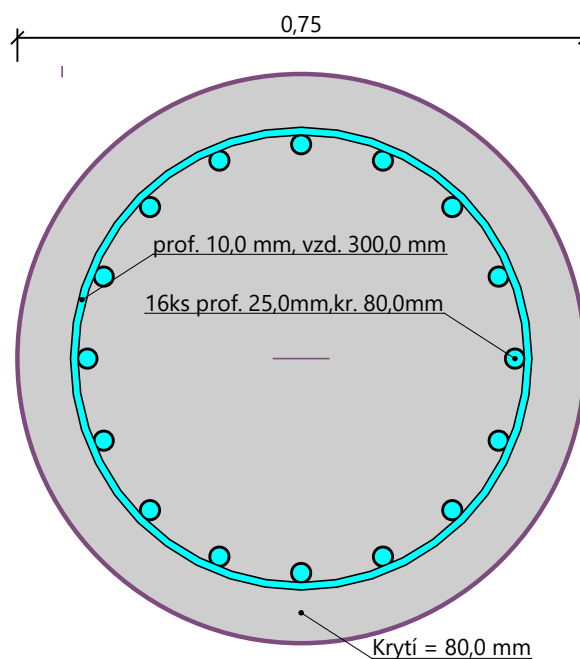
$A_{sw} = 523,6$  mm<sup>2</sup>

Posouvající síla na mezi únosnosti:  $V_{Rd} = 311,45$  kN >  $264,40$  kN =  $V_{Ed}$

#### Průřez VYHOVUJE

pouze konstrukční snyková výzvuž

### Schéma využití



### 10.4.3 Úsek 6,0 – 7,0 m

#### Vstupní data pro výpočet vodorovné únosnosti piloty

Výpočet proveden s automatickým výběrem nejnepříznivějších zatěžovacích stavů.

Vodorovná únosnost posouzena ve směru maximálního účinku zatížení.

#### Maximální vnitřní síly a deformace:

Max. deformace piloty = 74,7 mm

Max. posouvající síla = 356,00 kN

Maximální moment = 808,18 kNm

#### Posouzení na tlak a ohyb

Vyztužení - 16 ks profil 25,0 mm; krytí 80,0 mm

Typ konstrukce (stupně vyztužení): pilota

Stupeň vyztužení  $\rho = 1,778\% > 0,500\% = \rho_{min}$

Zatížení:  $N_{Ed} = -776,48$  kN (tlak);  $M_{Ed} = 808,18$  kNm

Únosnost:  $N_{Rd} = -947,02$  kN;  $M_{Rd} = 985,68$  kNm

#### Navržená výzvuž piloty VYHOVUJE

#### Posouzení na smyk

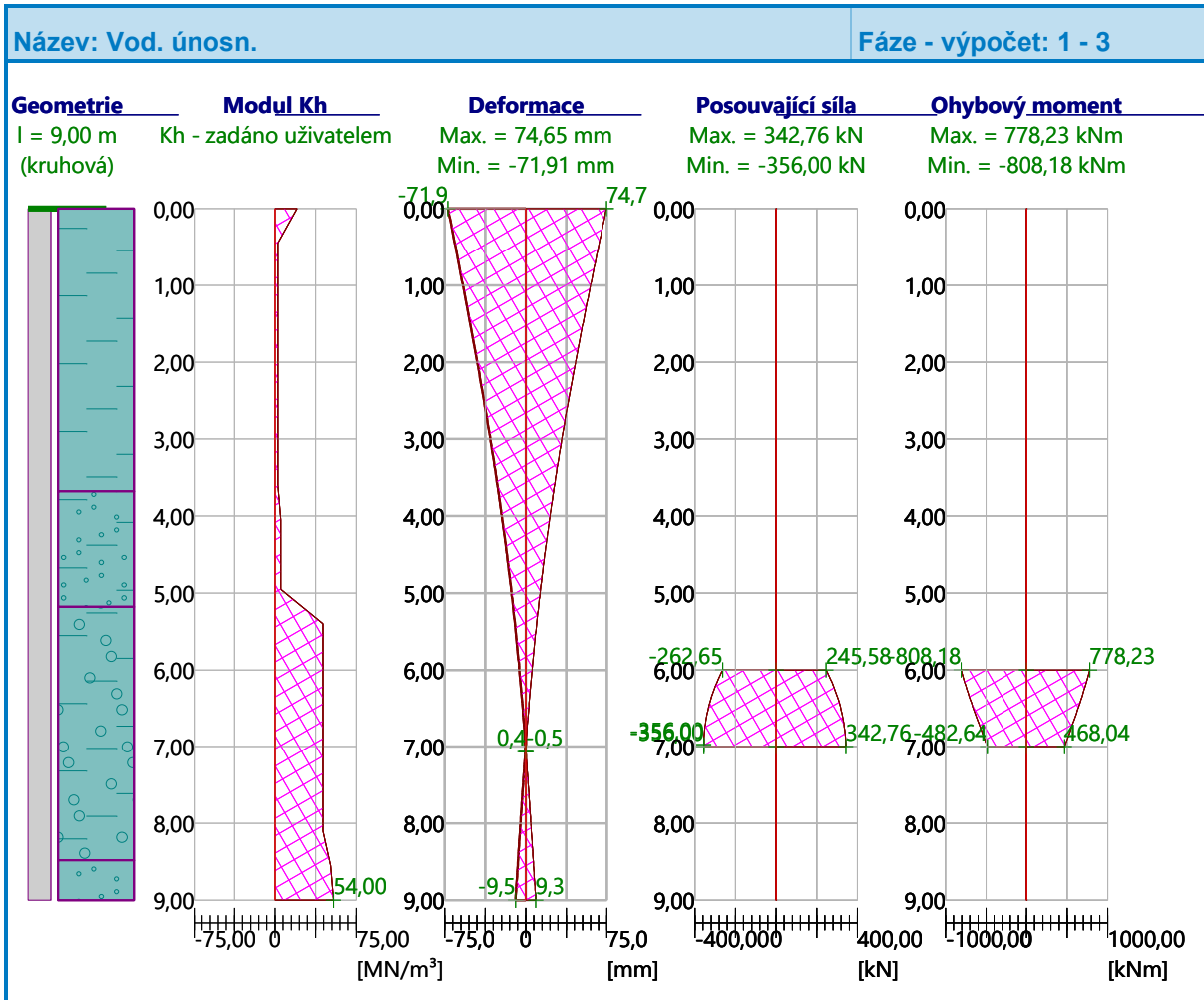
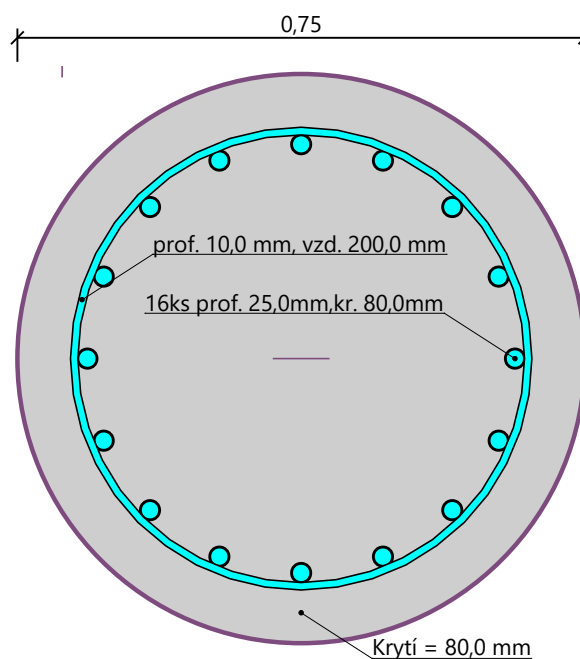
Smyková výzvuž - 2 ks profil 10,0 mm; vzdálenost 200,0 mm

$A_{sw} = 785,4$  mm<sup>2</sup>

Posouvající síla na mezi únosnosti:  $V_{Rd} = 460,99$  kN >  $356,00$  kN =  $V_{Ed}$

#### Průřez VYHOVUJE

### Schéma využití



## 10.4.4 Úsek 7,0 – 9,0 m

### Vstupní data pro výpočet vodorovné únosnosti piloty

Výpočet proveden s automatickým výběrem nejnepříznivějších zatěžovacích stavů.

Vodorovná únosnost posouzena ve směru maximálního účinku zatížení.

#### Maximální vnitřní síly a deformace:

Max. deformace piloty = 74,7 mm

Max. posouvající síla = 356,00 kN

Maximální moment = 482,64 kNm

#### Posouzení na tlak a ohyb

Vyztužení - 8 ks profil 25,0 mm; krytí 80,0 mm

Typ konstrukce (stupně vyztužení): pilota

Stupeň vyztužení  $\rho = 0,889\% > 0,500\% = \rho_{min}$

Zatížení:  $N_{Ed} = -776,48$  kN (tlak);  $M_{Ed} = 482,64$  kNm

Únosnost:  $N_{Rd} = -1098,13$  kN;  $M_{Rd} = 682,57$  kNm

#### Navržená výzvuž piloty VYHOVUJE

#### Posouzení na smyk

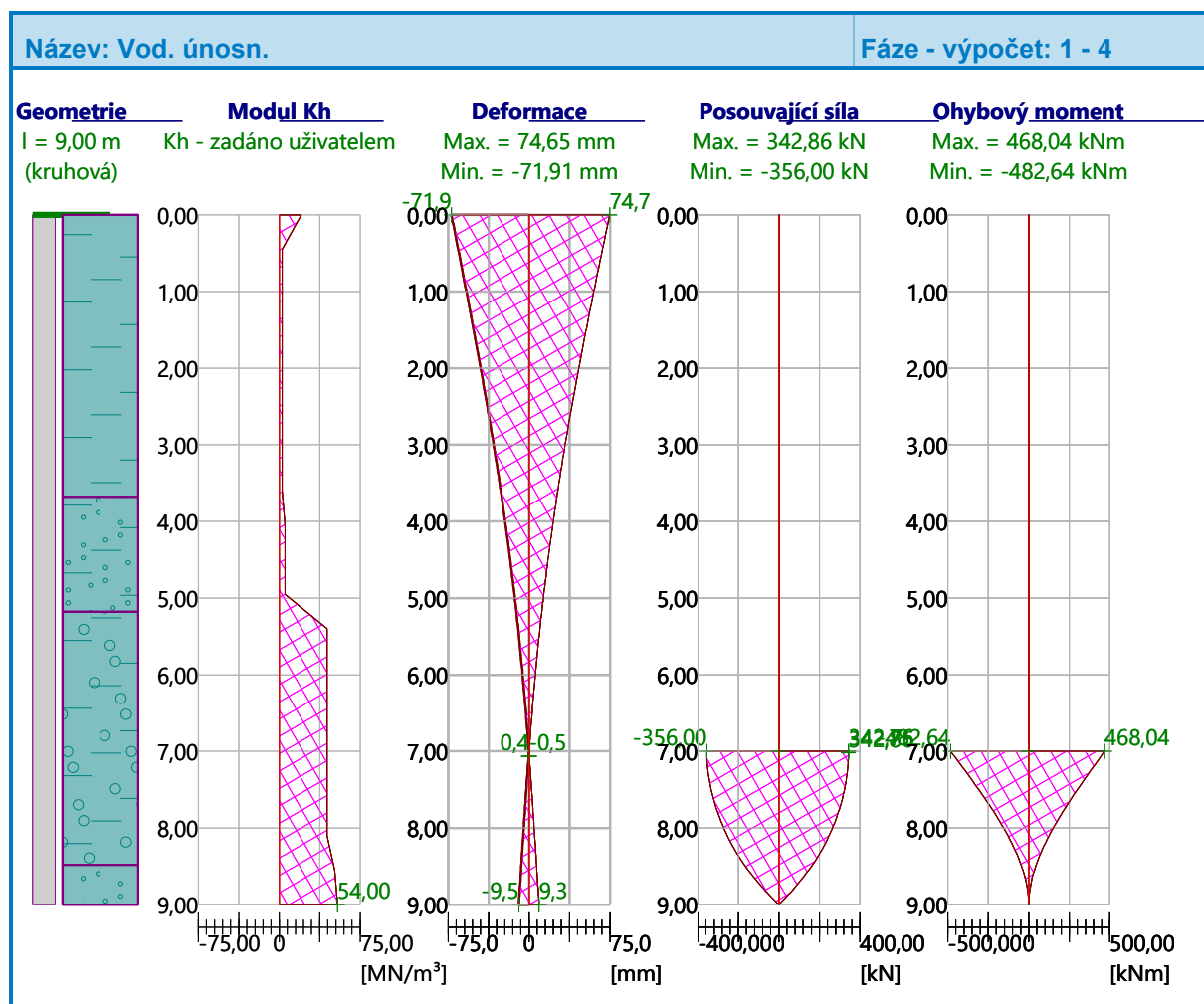
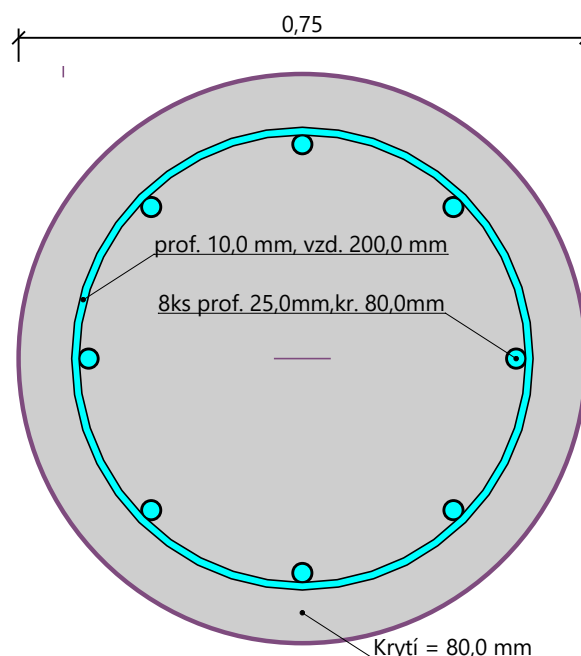
Smyková výzvuž - 2 ks profil 10,0 mm; vzdálenost 200,0 mm

$A_{sw} = 785,4$  mm<sup>2</sup>

Posouvající síla na mezi únosnosti:  $V_{Rd} = 460,99$  kN >  $356,00$  kN =  $V_{Ed}$

#### Průřez VYHOVUJE

### Schéma využití



## 11 Závěr

**Nosná konstrukce vyhovuje z hlediska mezního stavu únosnosti a použitelnosti na přenos zatížení od LM71 a SW/2, celková zatížitelnost je  $Z_{LM71} = 1,21$ .**

**Nosná konstrukce vyhovuje na maximální třídu zatížení D4-120.**

V Brně, červen 2020

Juraj Figuli